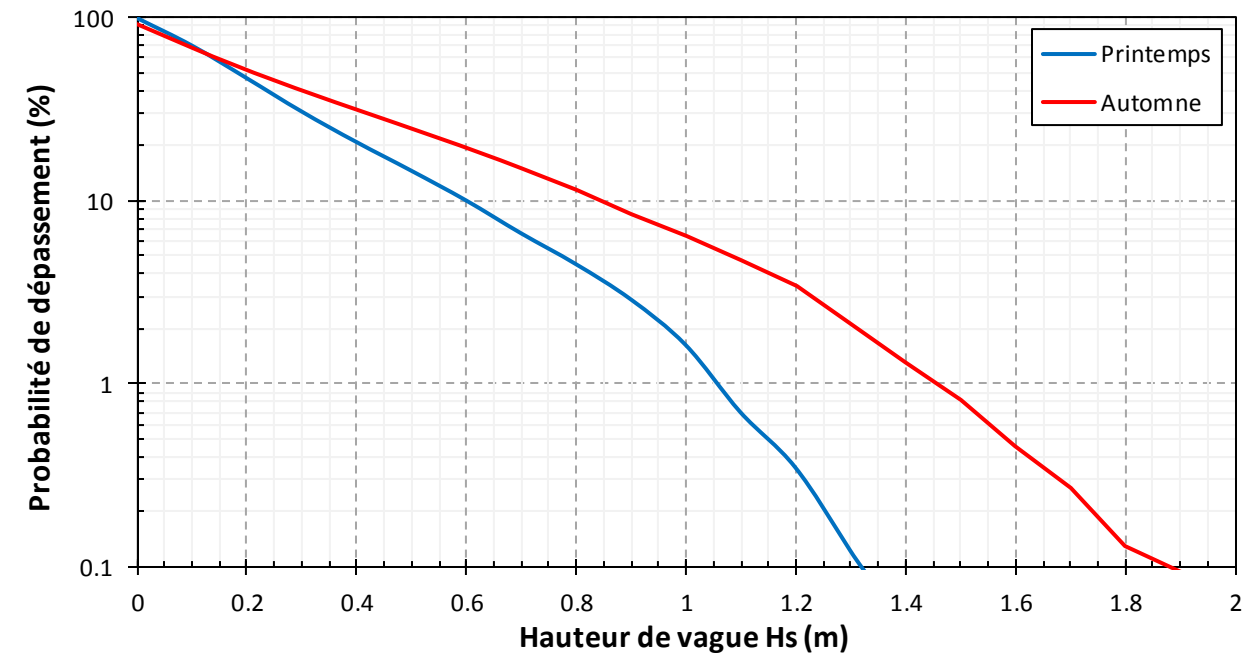
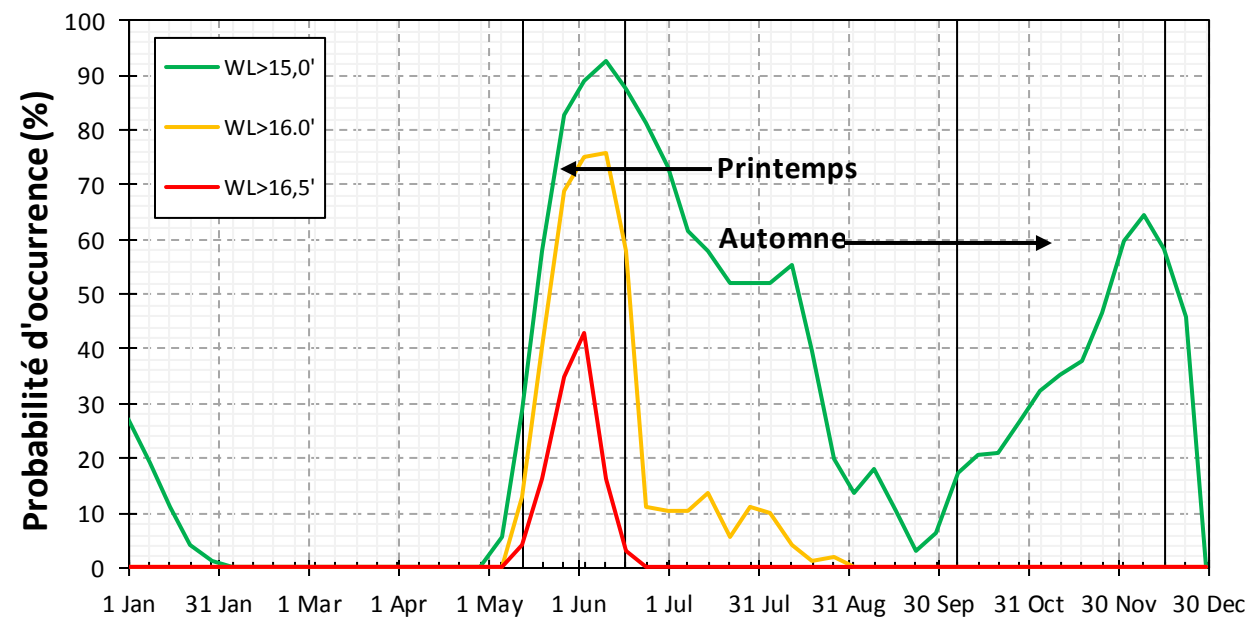


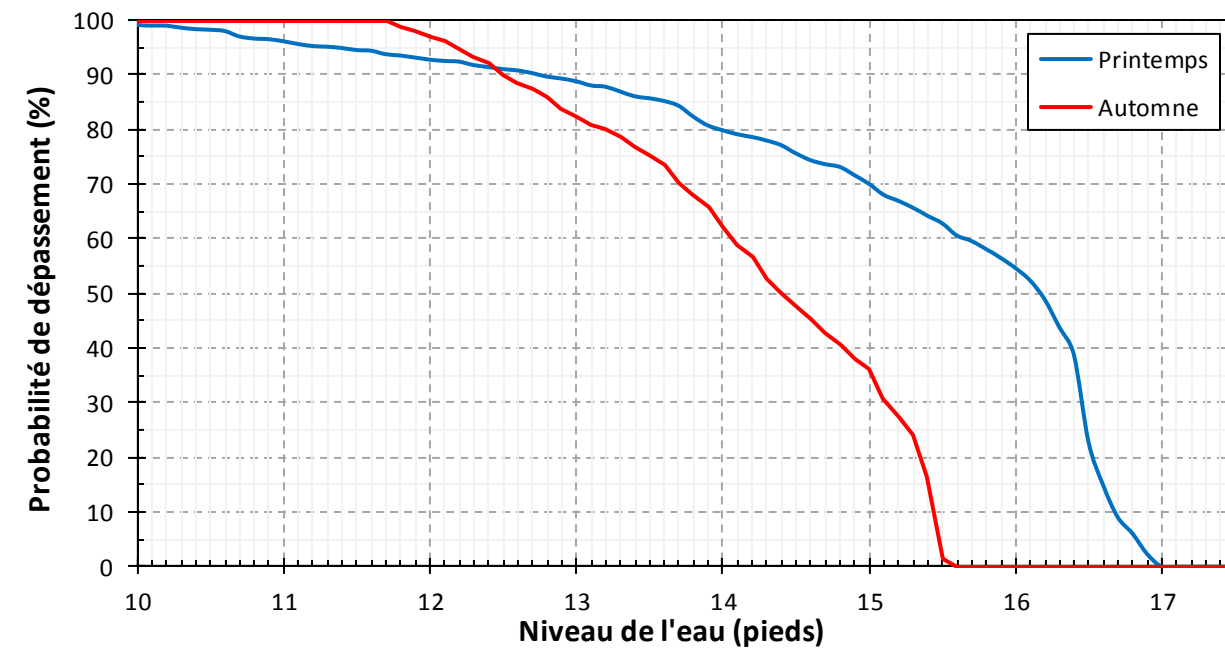
a) Probabilité de dépassement de la hauteur de vagues



c) Probabilité de dépassement de la hauteur de vagues

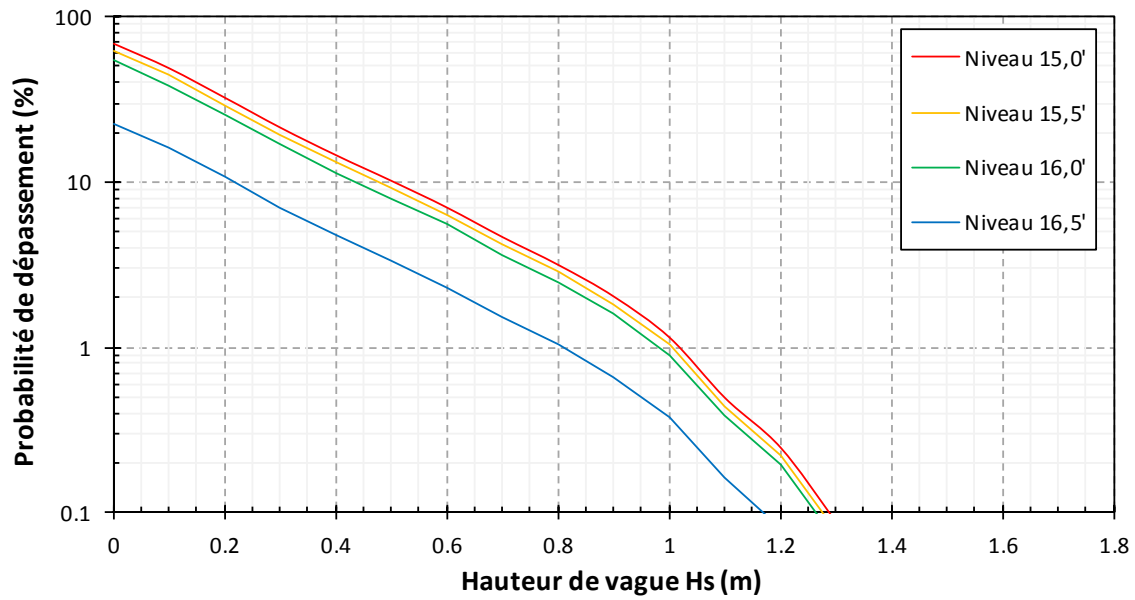


b) Probabilité de dépassement du niveau d'eau

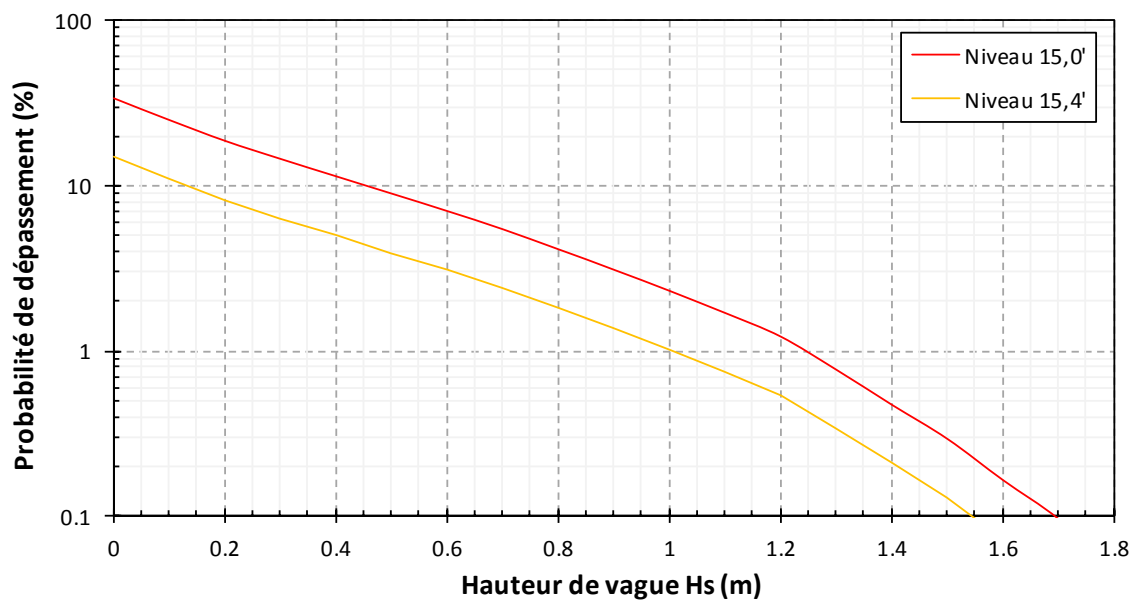


d) Probabilité de dépassement du niveau d'eau

Figure 1: Comparaison de l'intensité et de la récurrence des tempêtes printanières avec les tempêtes d'automne. Secteur de Saint-Gédéon Sud. Niveau d'eau du Scénario M.

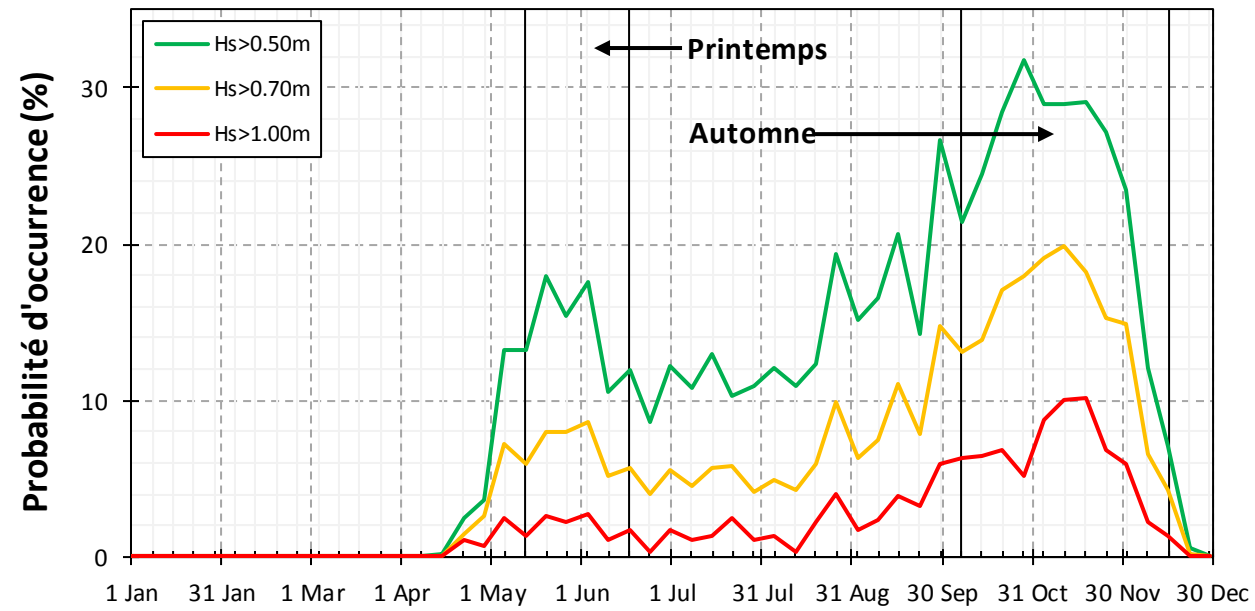


a) Probabilité combinée de la hauteur des vagues et du niveau de l'eau au printemps

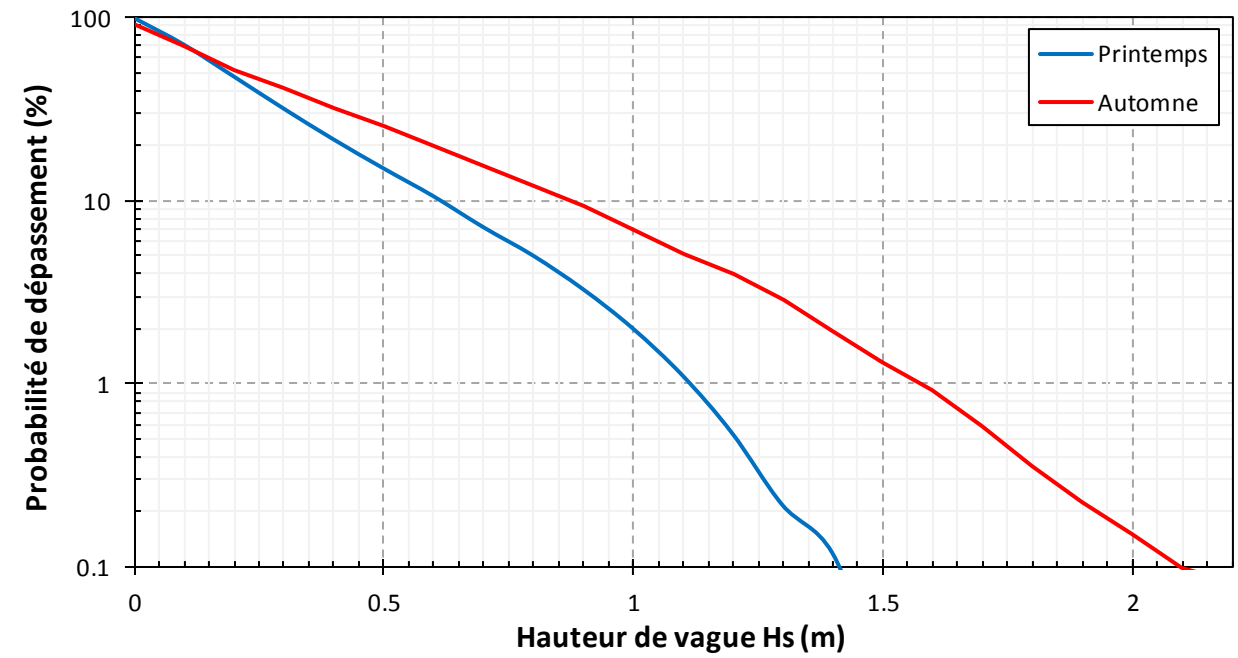


b) Probabilité combinée de la hauteur des vagues et du niveau de l'eau en automne

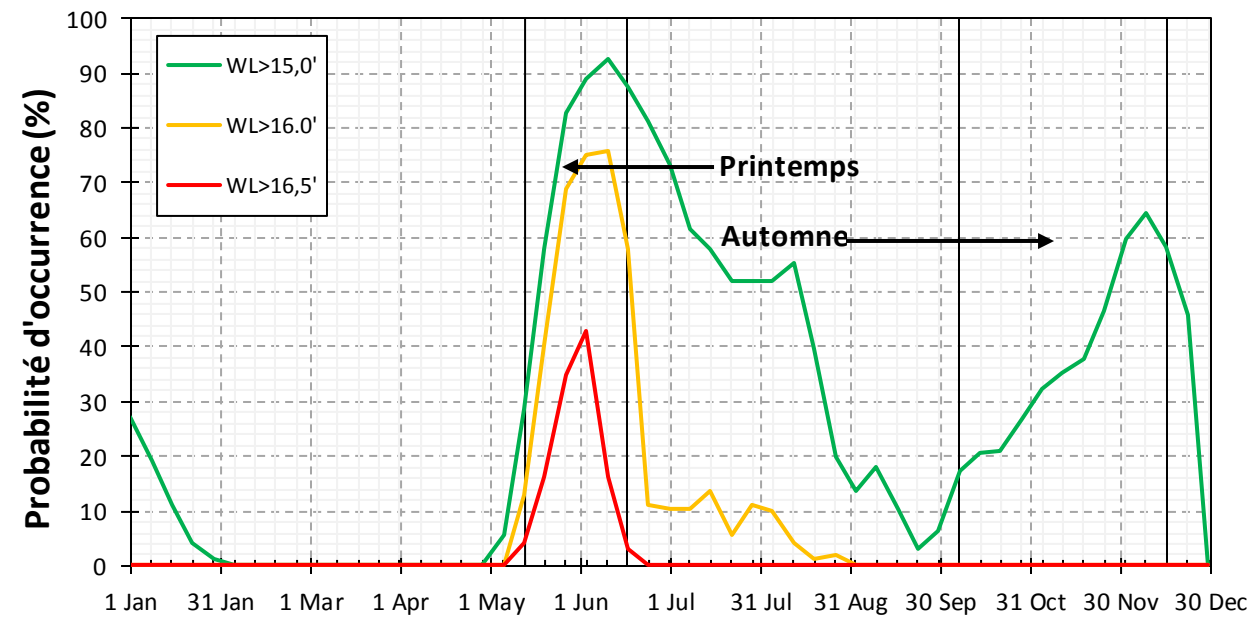
Figure 2: Probabilité de dépassement d'une hauteur de vague pour différents niveaux d'eau. Secteur de Saint-Gédéon Sud. Scénario M.



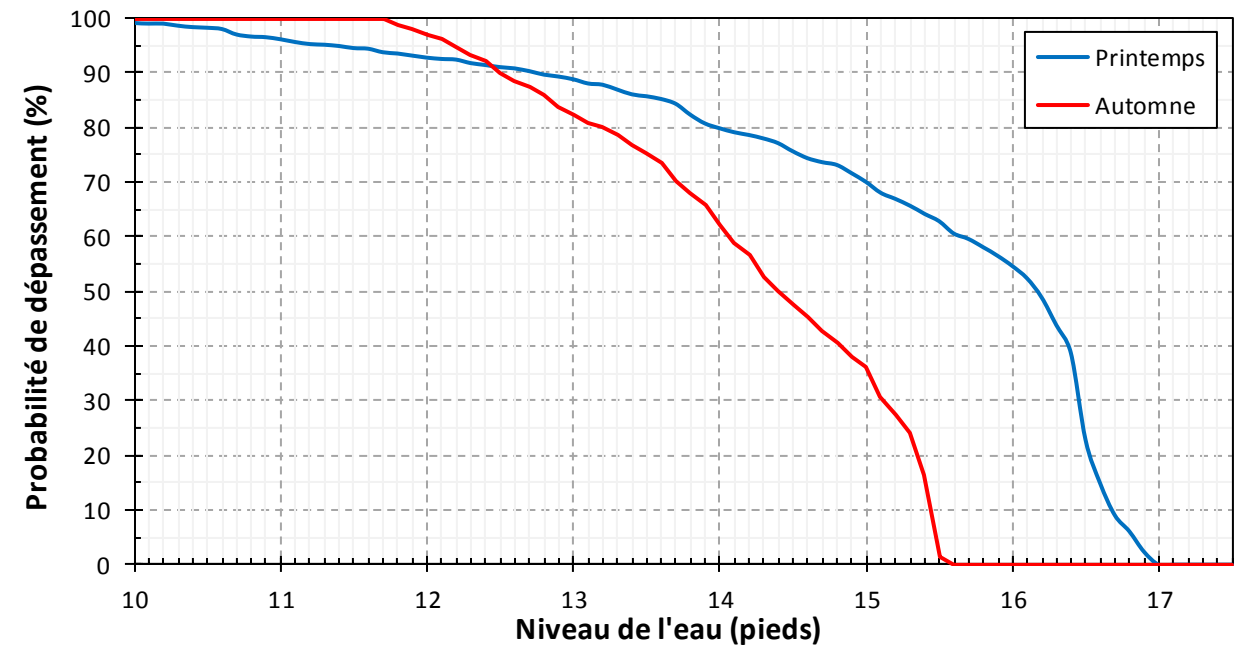
a) Probabilité de dépassement de la hauteur de vagues



c) Probabilité de dépassement de la hauteur de vagues

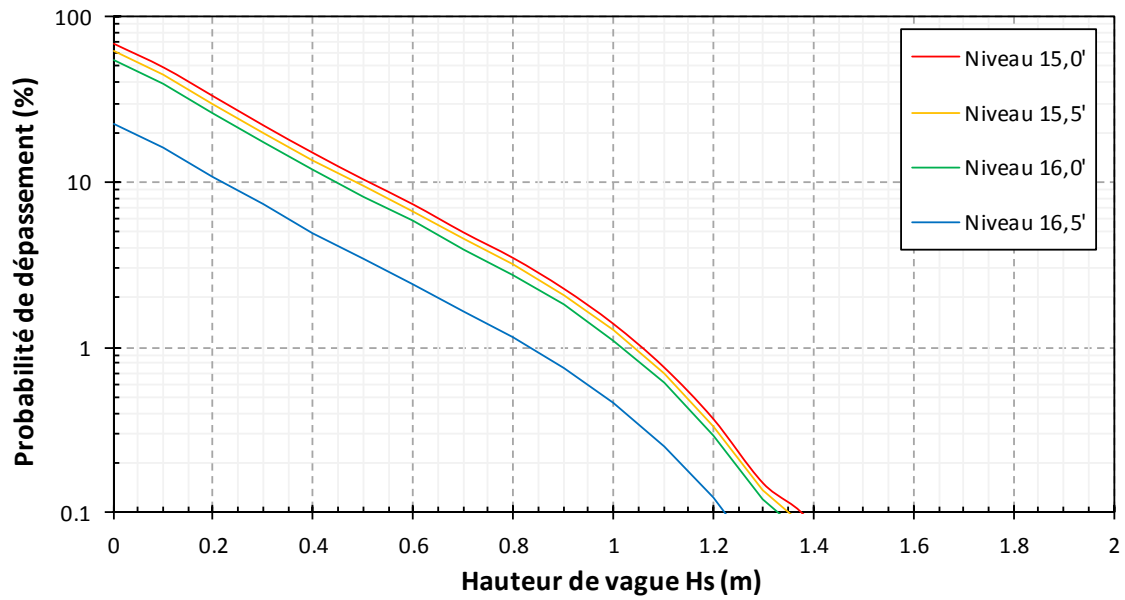


b) Probabilité de dépassement du niveau d'eau

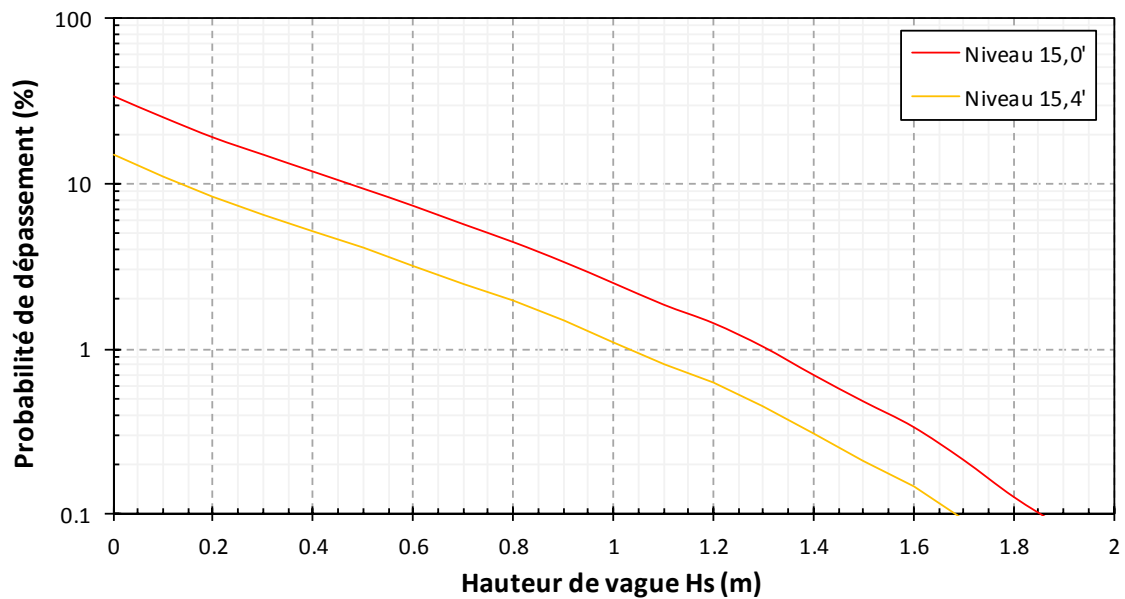


d) Probabilité de dépassement du niveau d'eau

Figure 3 : Comparaison de l'intensité et de la récurrence des tempêtes printanières avec les tempêtes d'automne. Secteur de Métabetchouan-Lac-à-la-Croix. Niveau d'eau du Scénario M.

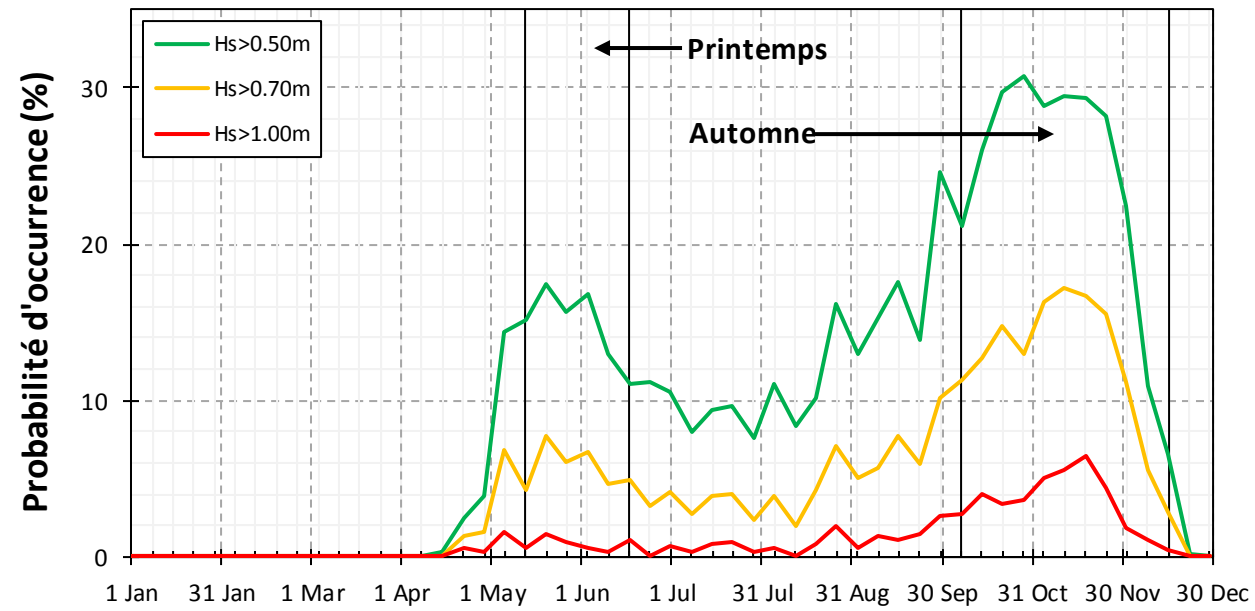


a) Probabilité combinée de la hauteur des vagues et du niveau de l'eau au printemps

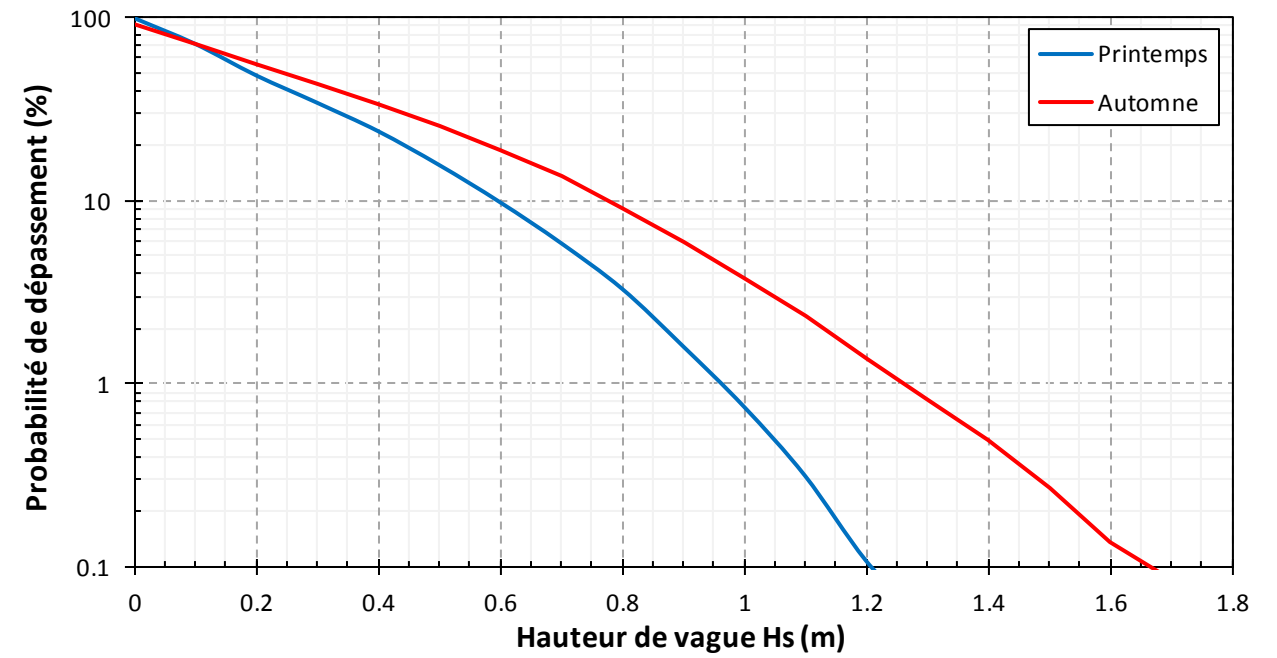


b) Probabilité combinée de la hauteur des vagues et du niveau de l'eau en automne

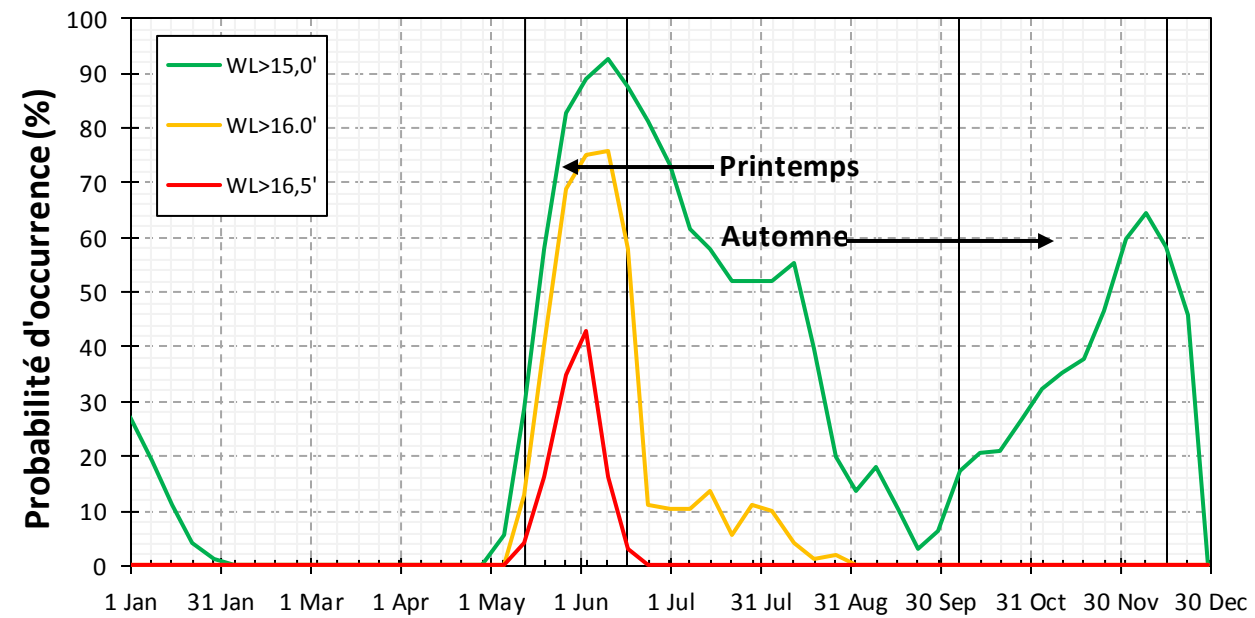
Figure 4 : Probabilité de dépassement d'une hauteur de vague pour différents niveaux d'eau. Secteur de Métabetchouan-Lac-à-la-Croix. Scénario M.



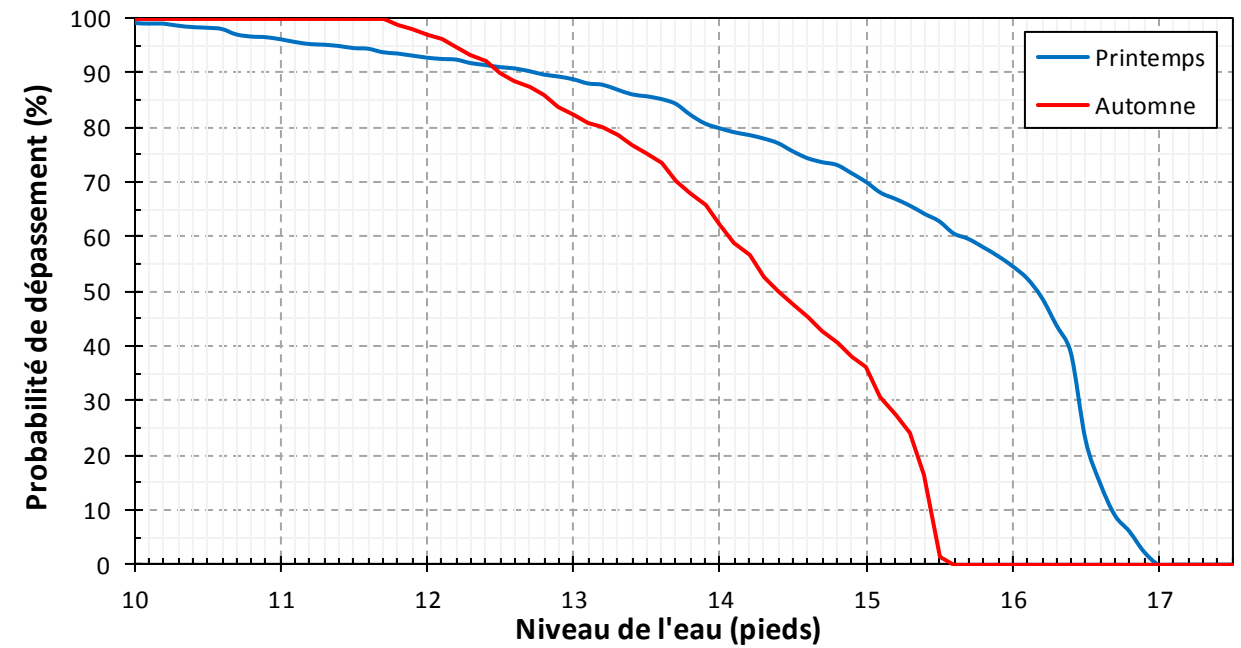
a) Probabilité de dépassement de la hauteur de vagues



c) Probabilité de dépassement de la hauteur de vagues

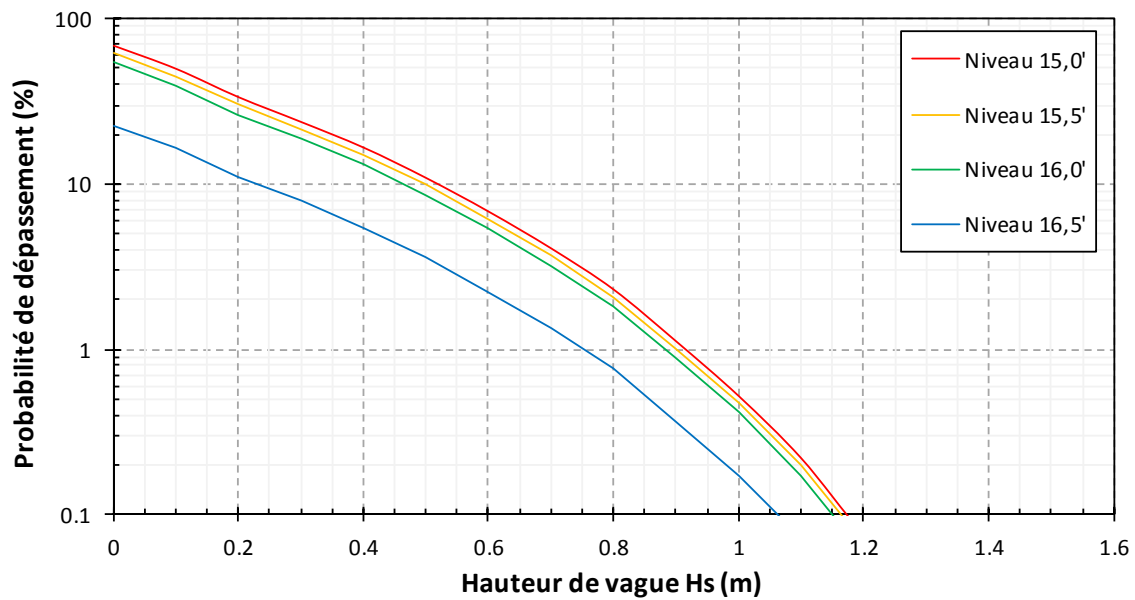


b) Probabilité de dépassement du niveau d'eau

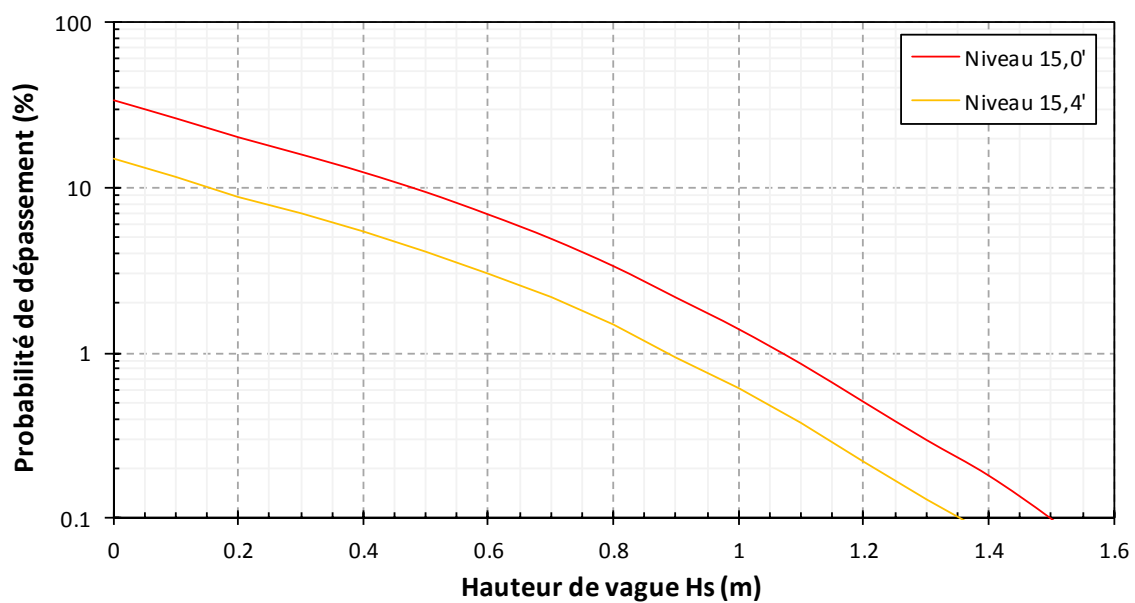


d) Probabilité de dépassement du niveau d'eau

Figure 5: Comparaison de l'intensité et de la récurrence des tempêtes printanières avec les tempêtes d'automne. Secteur de Chambord (Domaine du Marais). Niveau d'eau du Scénario M.

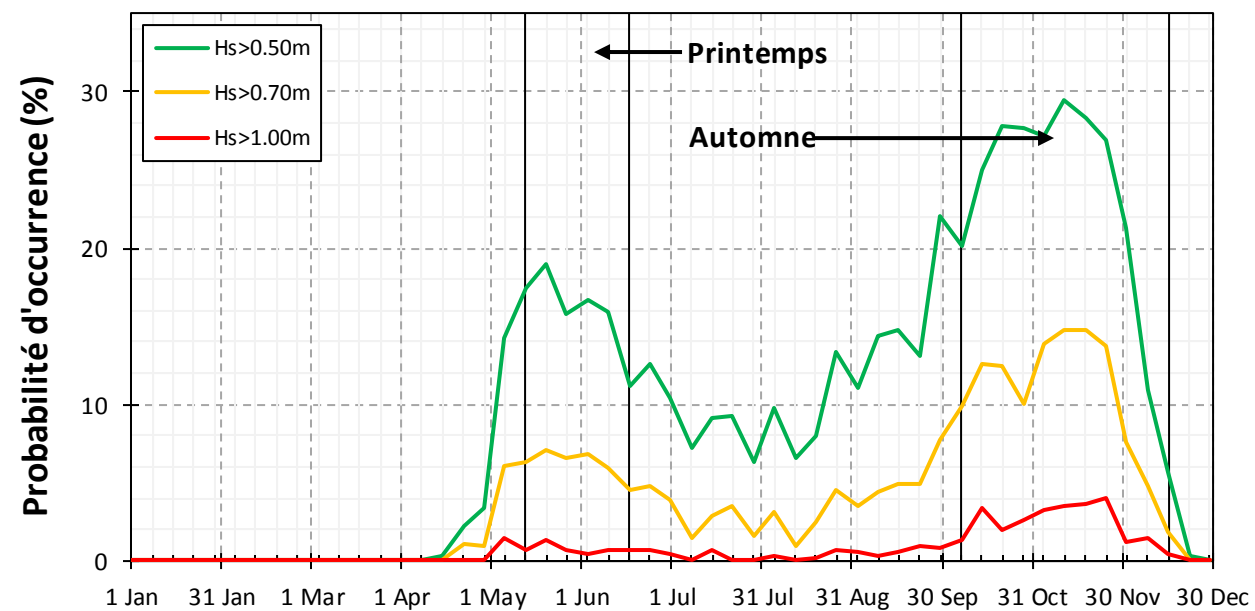


a) Probabilité combinée de la hauteur des vagues et du niveau de l'eau au printemps

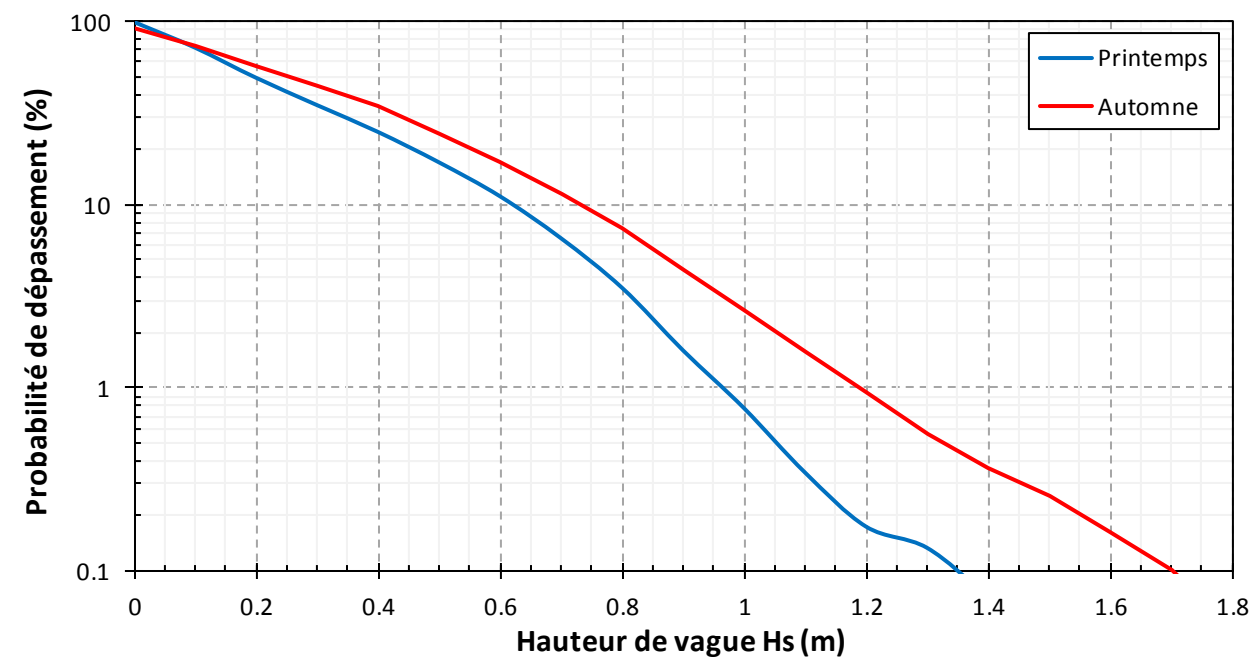


b) Probabilité combinée de la hauteur des vagues et du niveau de l'eau en automne

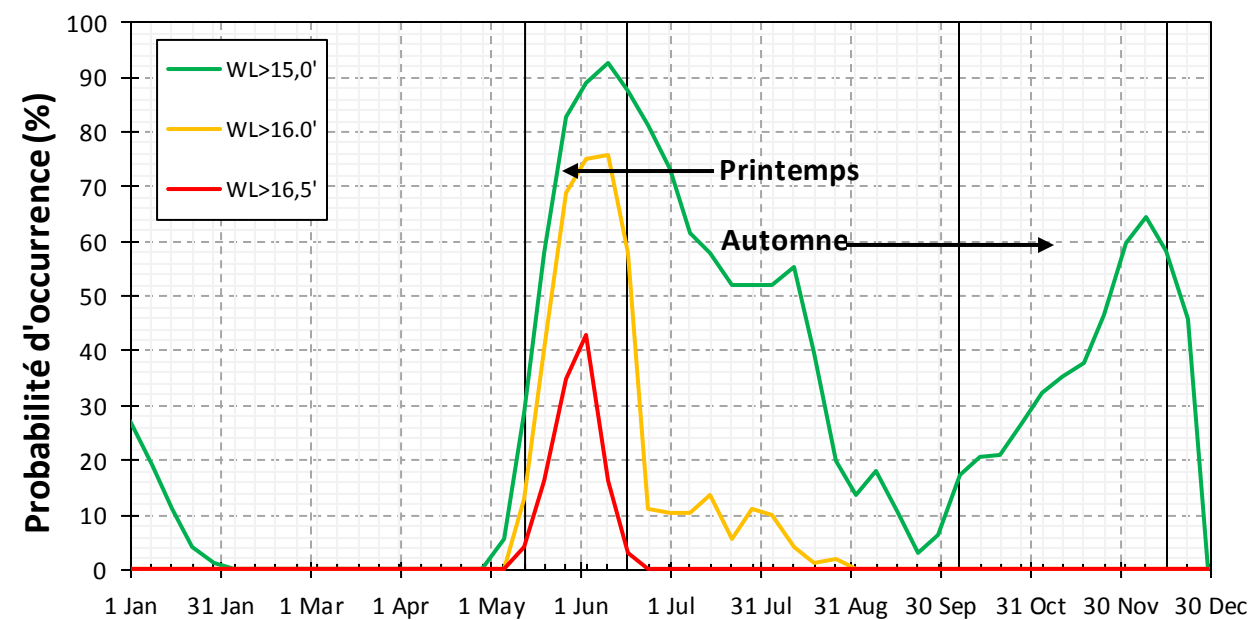
Figure 6 : Probabilité de dépassement d'une hauteur de vague pour différents niveaux d'eau. Secteur de Chambord (Domaine du Marais). Scénario M.



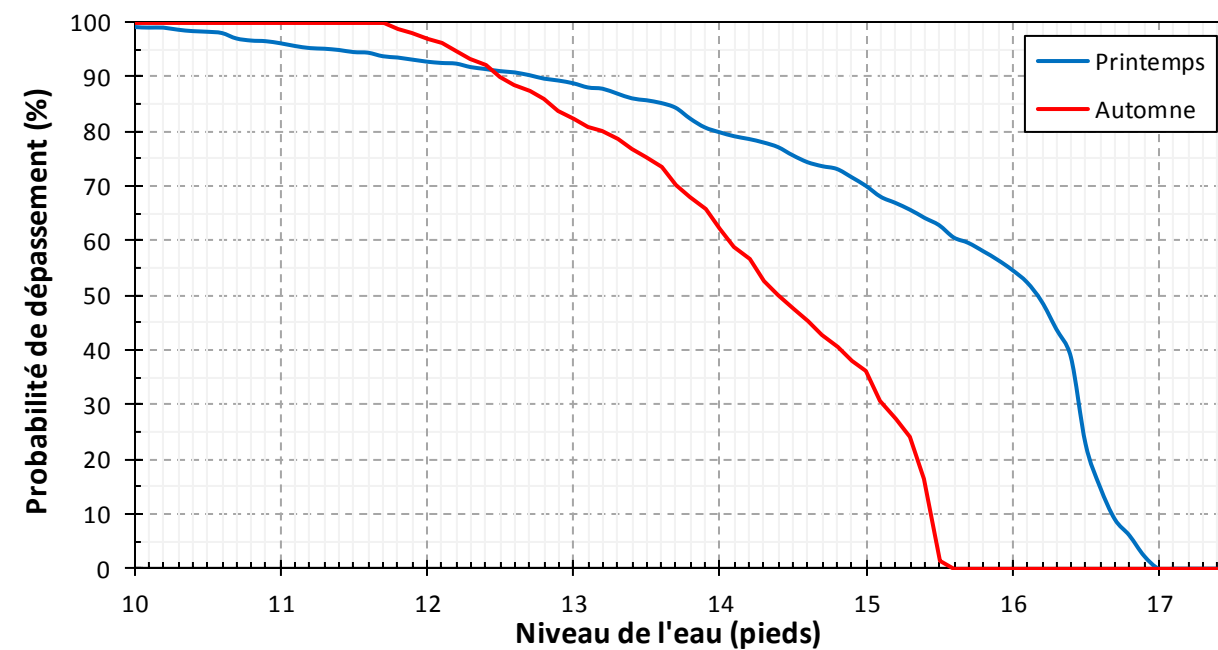
a) Probabilité de dépassement de la hauteur de vagues



c) Probabilité de dépassement de la hauteur de vagues

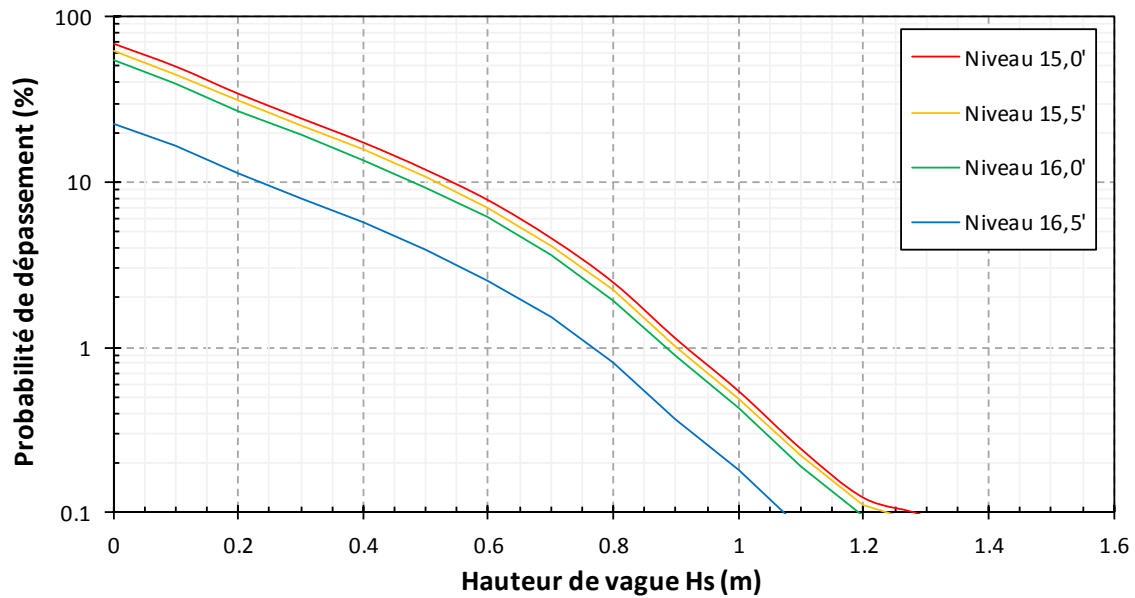


b) Probabilité de dépassement du niveau d'eau

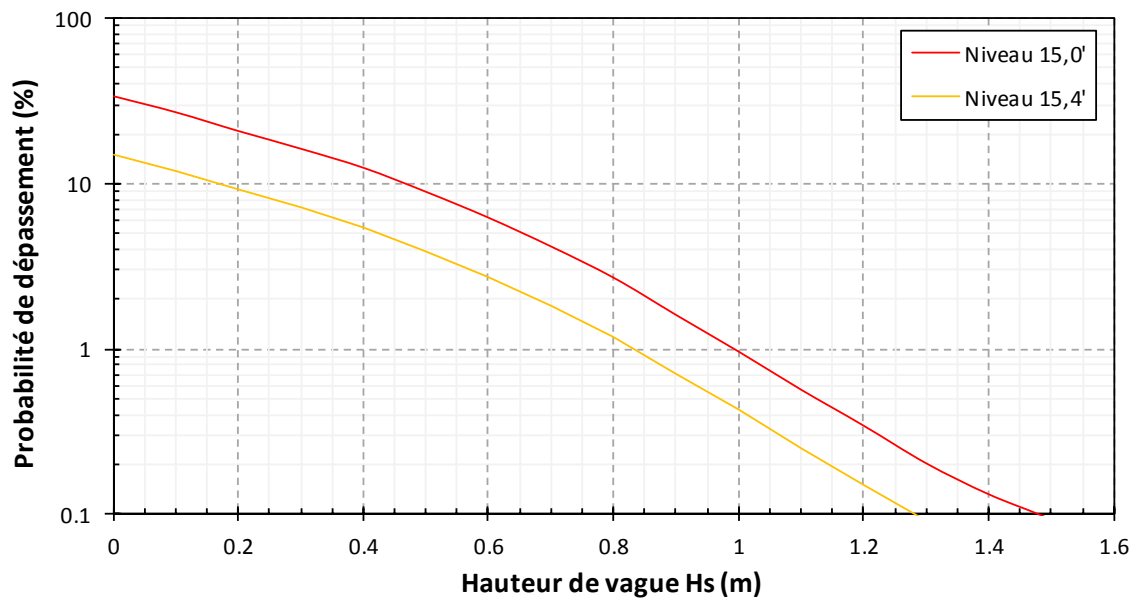


d) Probabilité de dépassement du niveau d'eau

Figure 7: Comparaison de l'intensité et de la récurrence des tempêtes printanières avec les tempêtes d'automne. Secteur de Chambord (Pointe). Niveau d'eau du Scénario M.



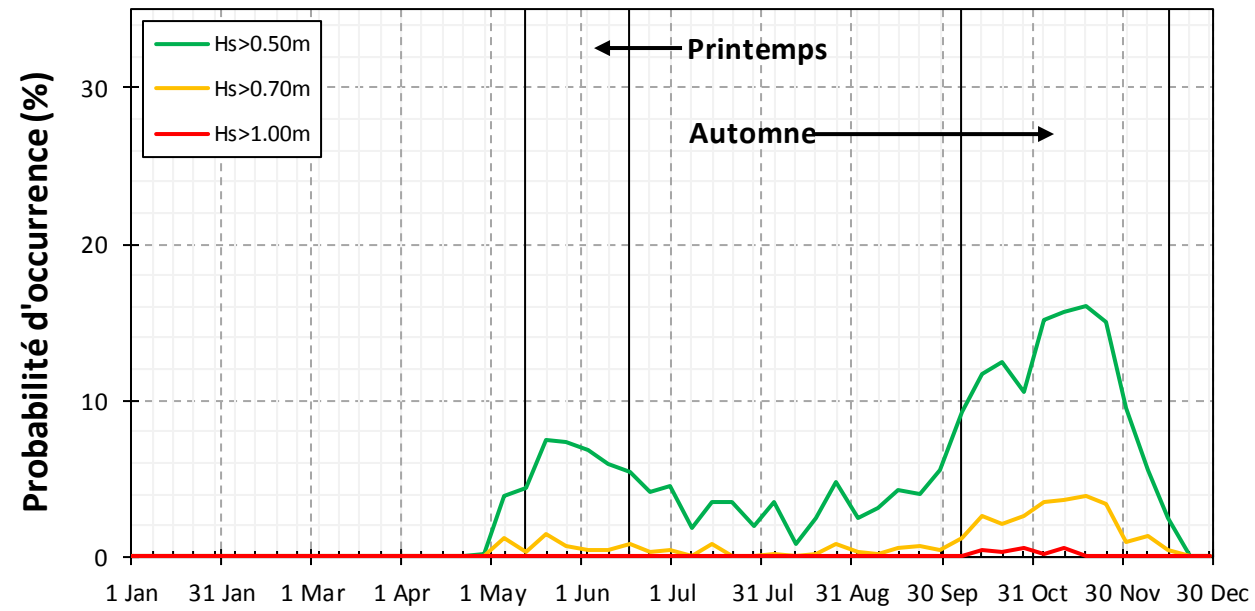
a) Probabilité combinée de la hauteur des vagues et du niveau de l'eau au printemps



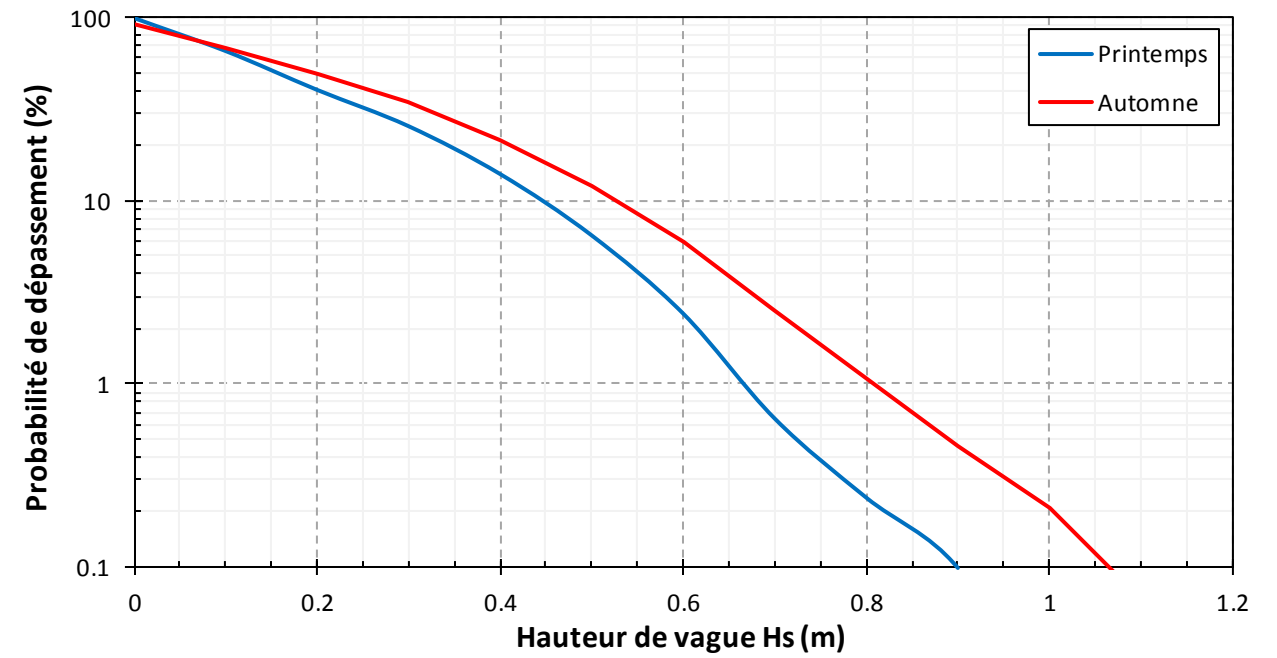
b) Probabilité combinée de la hauteur des vagues et du niveau de l'eau en automne

Figure 8: Probabilité de dépassement d'une hauteur de vague pour différents niveaux d'eau. Secteur de Chambord (Pointe). Scénario M.

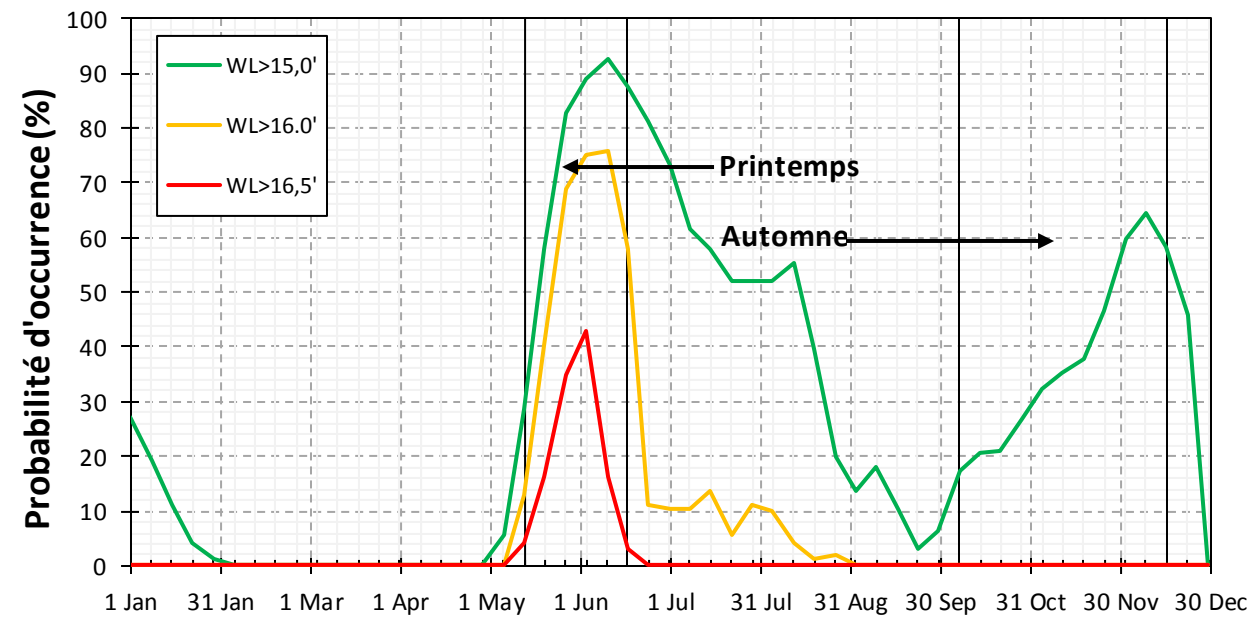




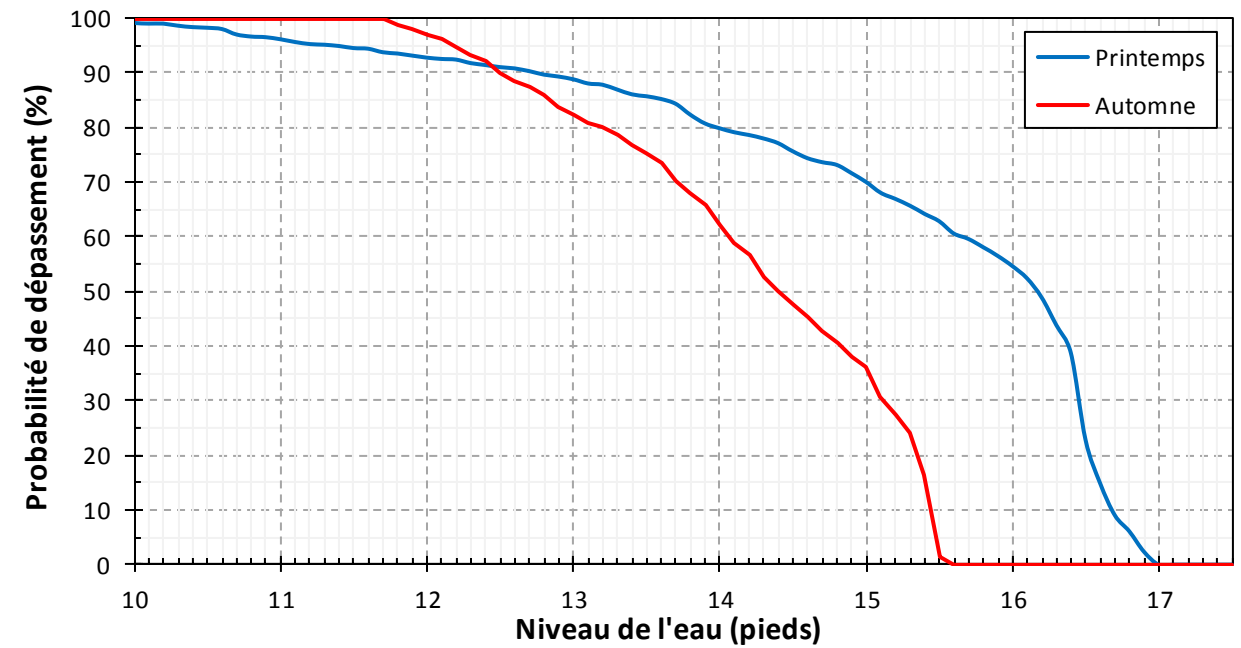
a) Probabilité de dépassement de la hauteur de vagues



c) Probabilité de dépassement de la hauteur de vagues

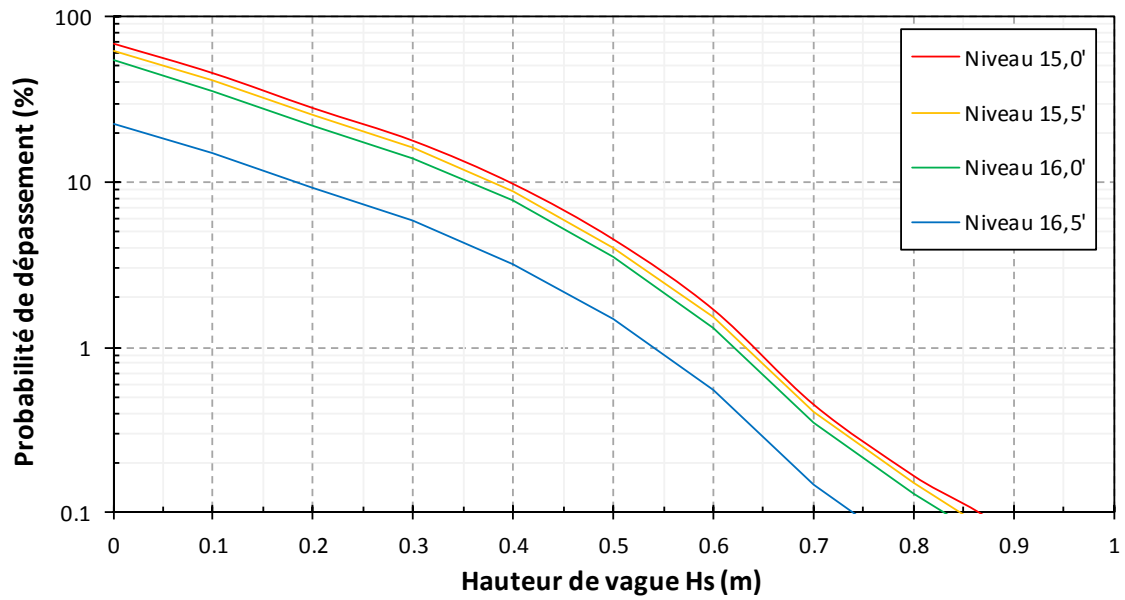


b) Probabilité de dépassement du niveau d'eau

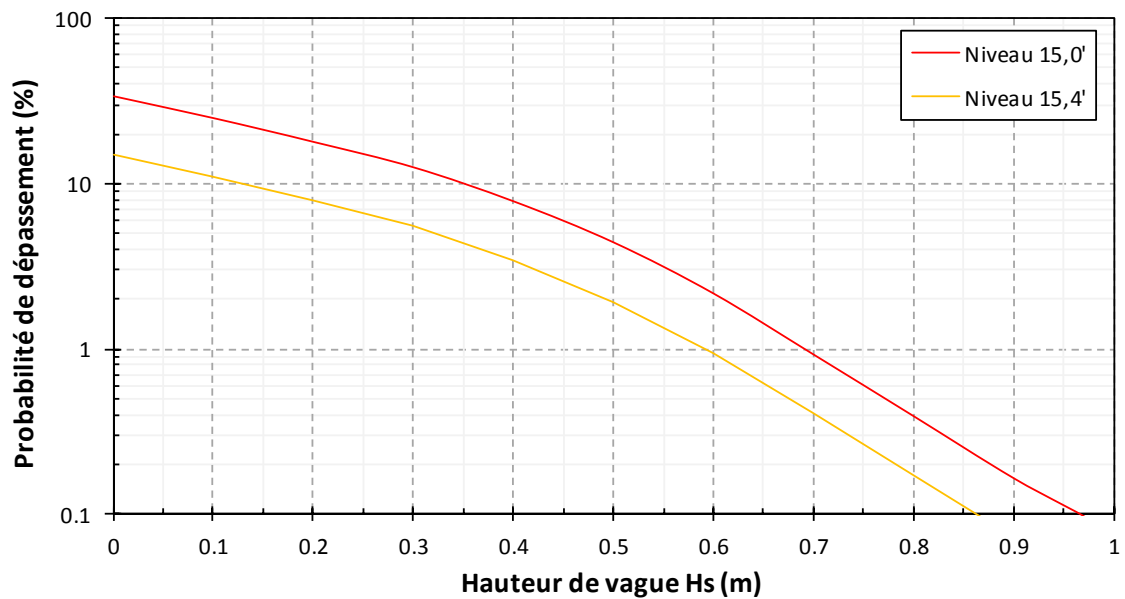


d) Probabilité de dépassement du niveau d'eau

Figure 9: Comparaison de l'intensité et de la récurrence des tempêtes printanières avec les tempêtes d'automne. Secteur de Mastheuiatsh. Niveau d'eau du Scénario M.

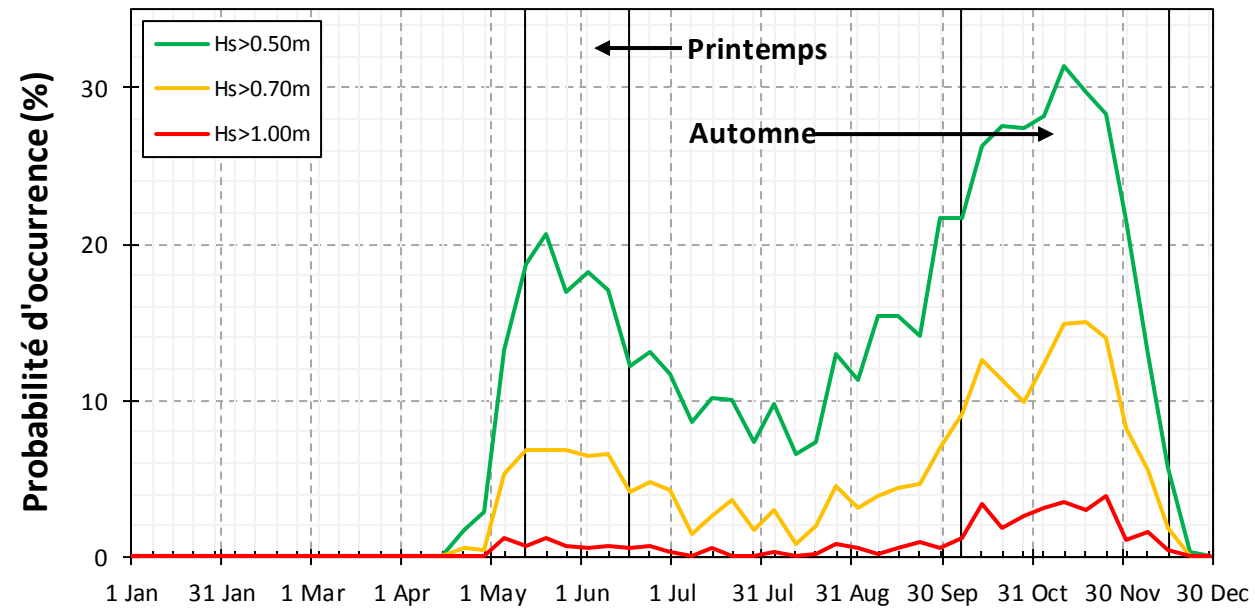


a) Probabilité combinée de la hauteur des vagues et du niveau de l'eau au printemps

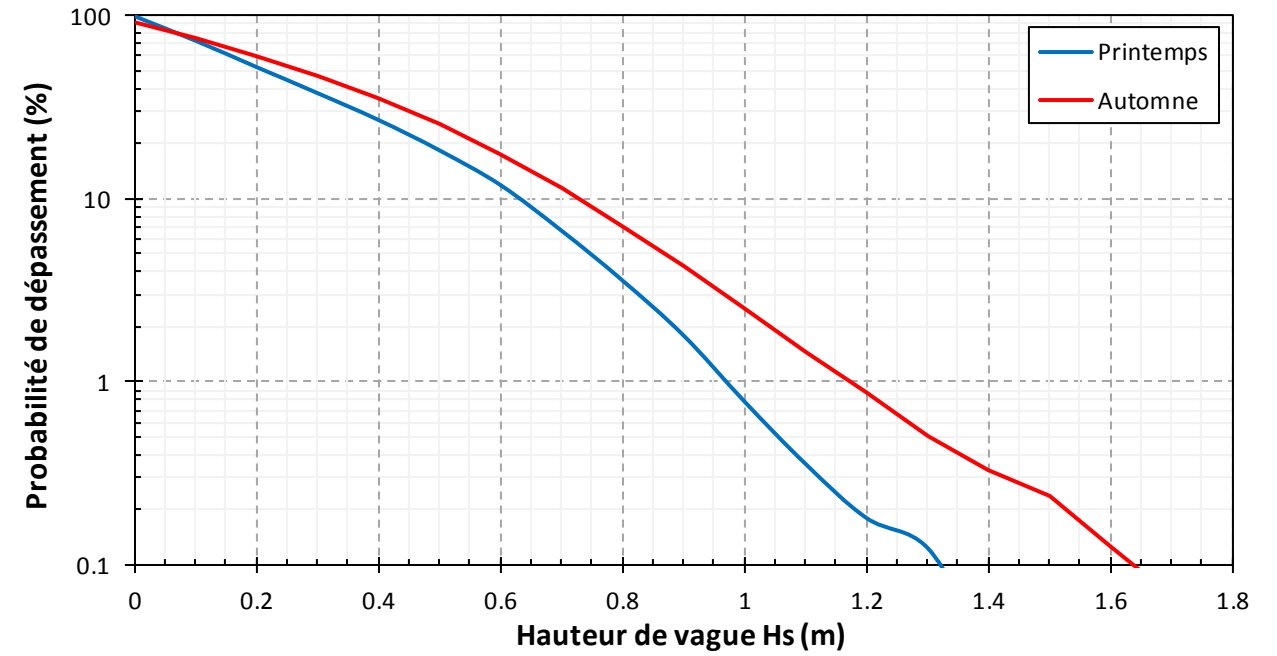


b) Probabilité combinée de la hauteur des vagues et du niveau de l'eau en automne

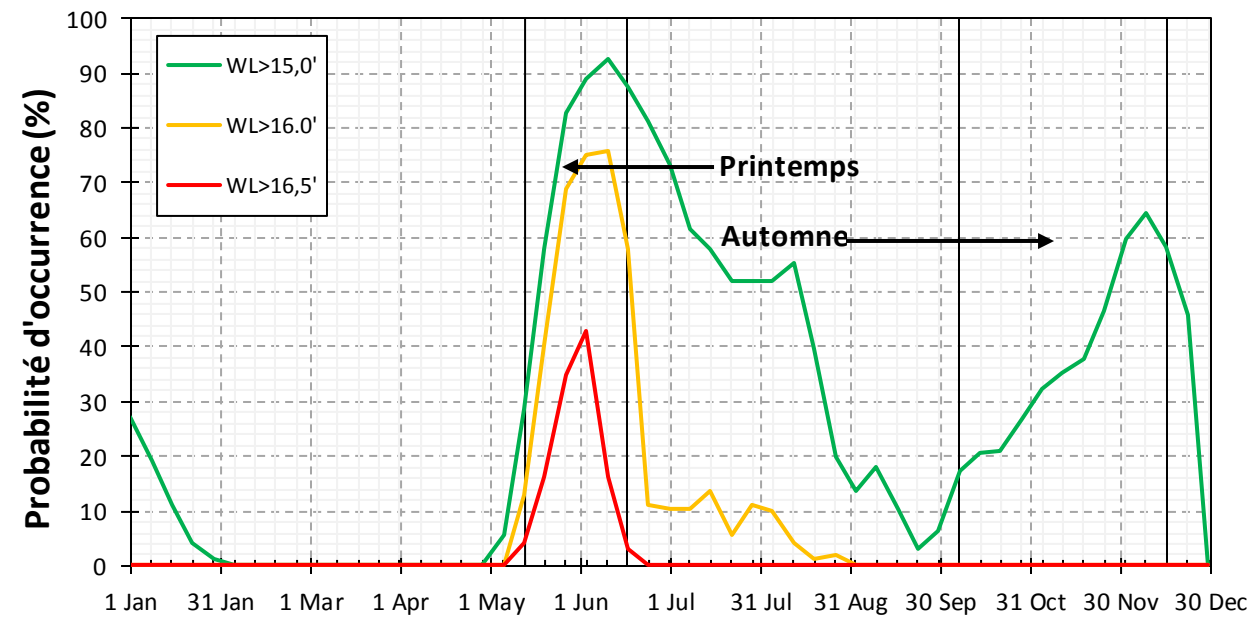
Figure 10: Probabilité de dépassement d'une hauteur de vague pour différents niveaux d'eau. Secteur de Mastheuiatsh. Scénario M.



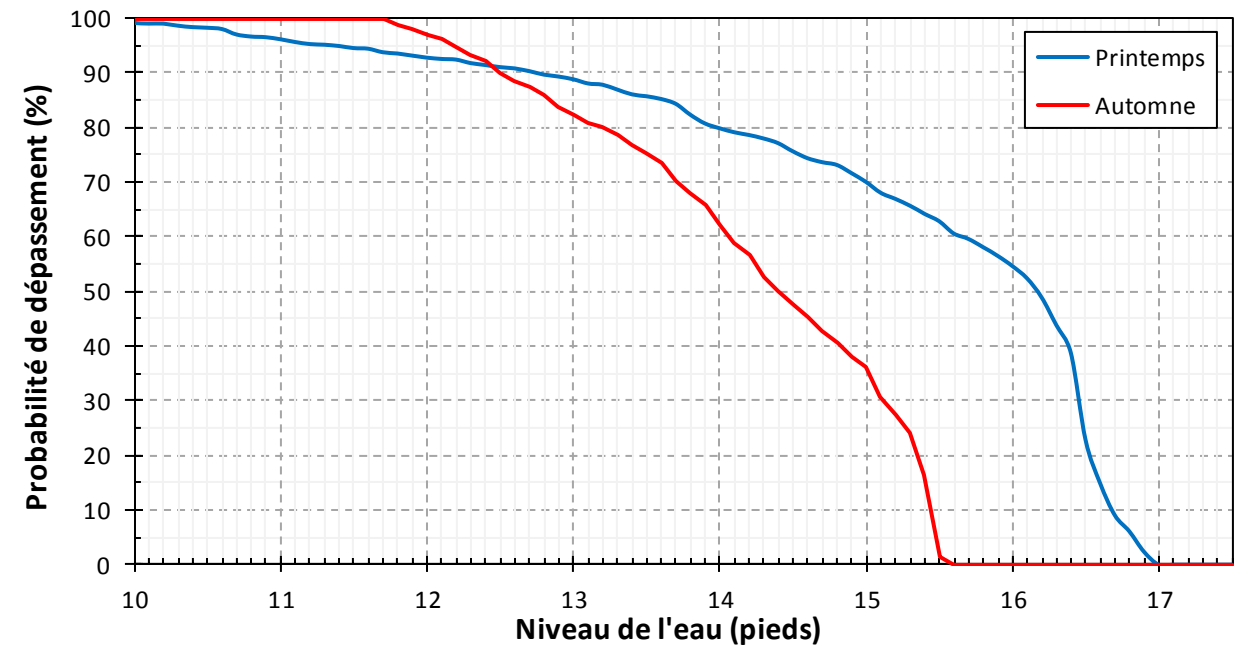
a) Probabilité de dépassement de la hauteur de vagues



c) Probabilité de dépassement de la hauteur de vagues

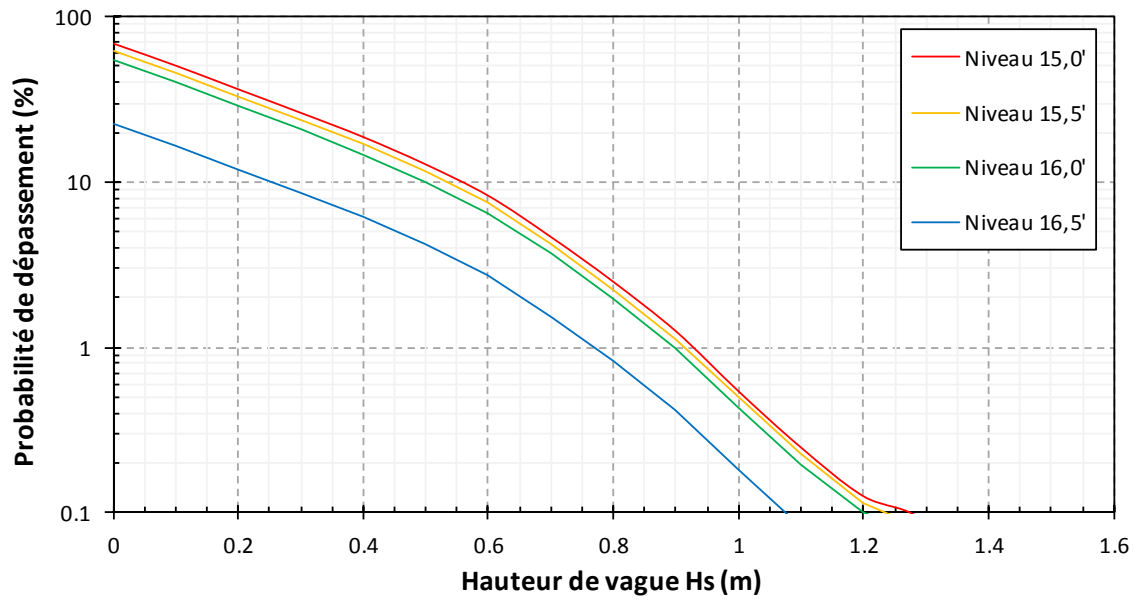


b) Probabilité de dépassement du niveau d'eau

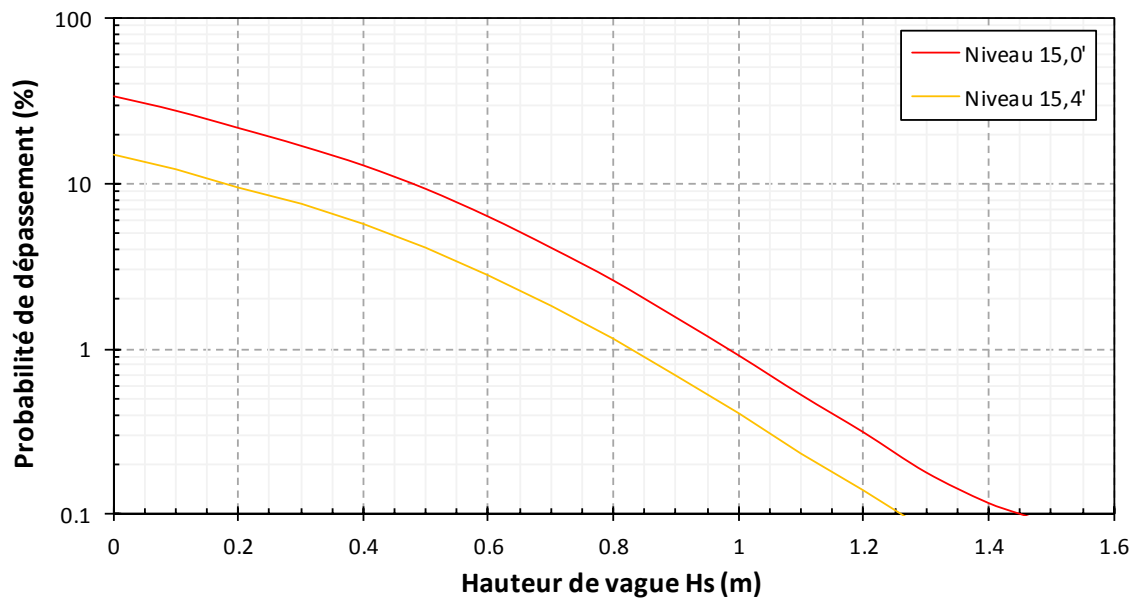


d) Probabilité de dépassement du niveau d'eau

Figure 11: Comparaison de l'intensité et de la récurrence des tempêtes printanières avec les tempêtes d'automne. Secteur de Saint-Félicien. Niveau d'eau du Scénario M.

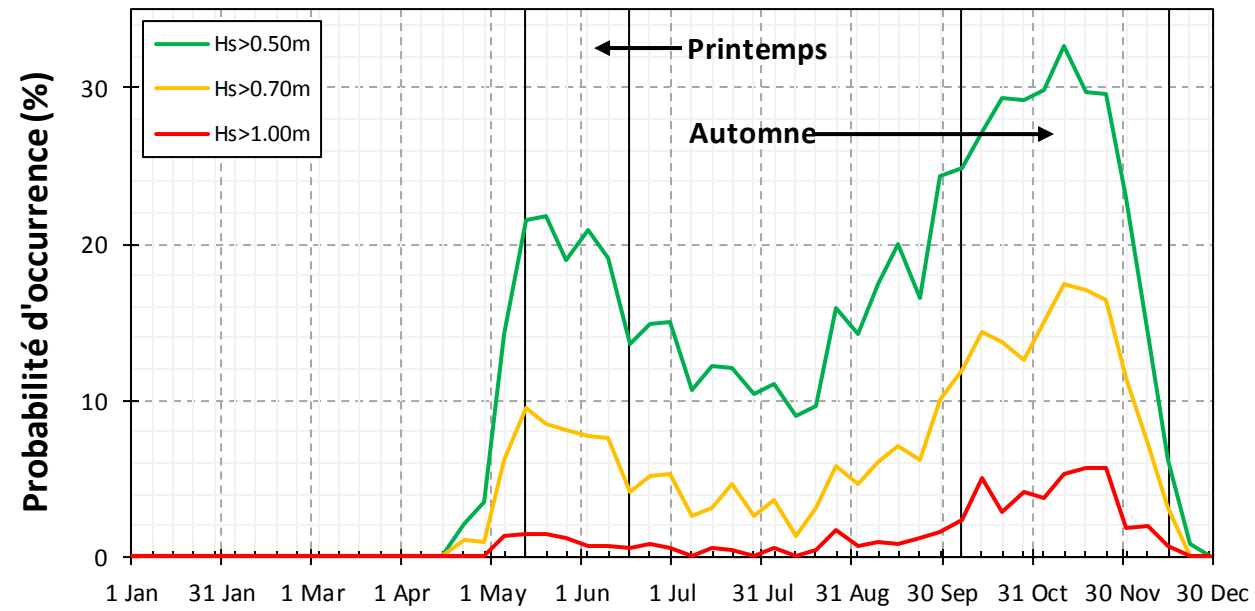


a) Probabilité combinée de la hauteur des vagues et du niveau de l'eau au printemps

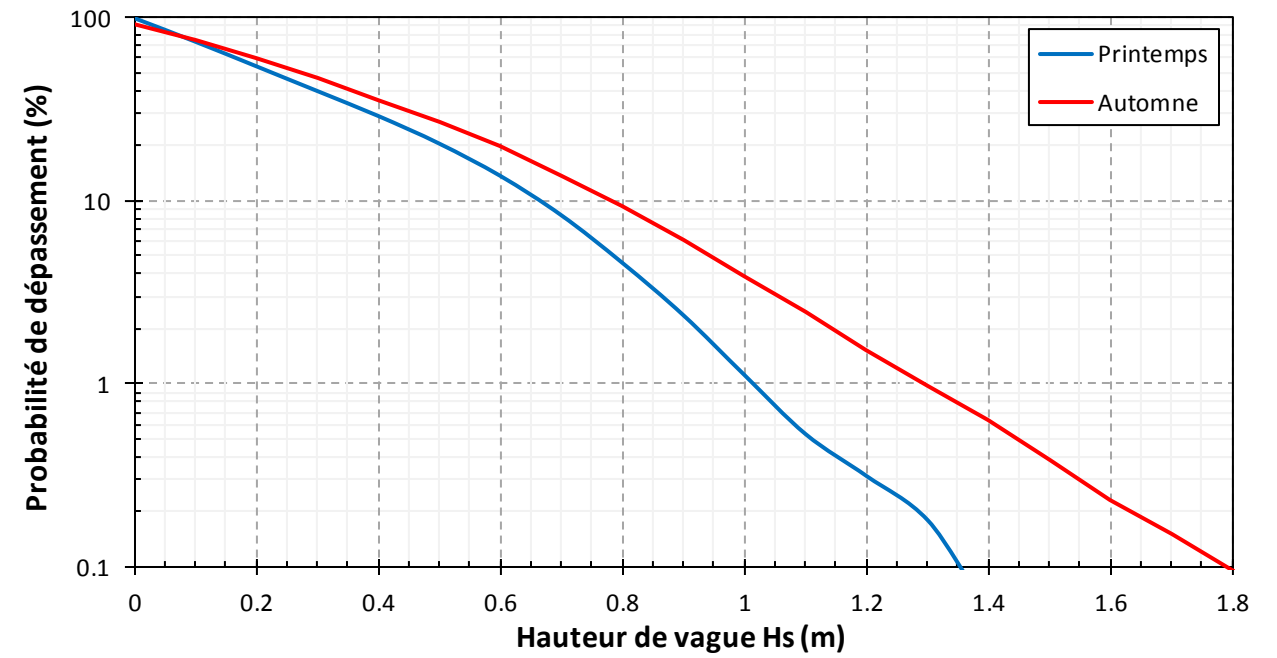


b) Probabilité combinée de la hauteur des vagues et du niveau de l'eau en automne

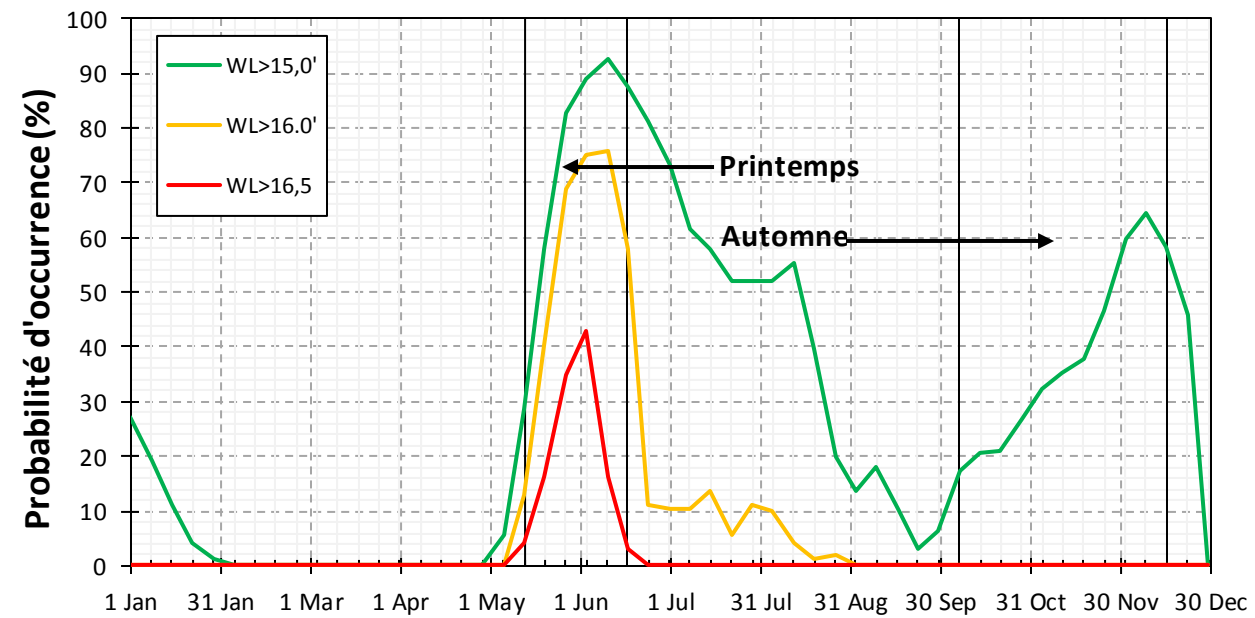
Figure 12: Probabilité de dépassement d'une hauteur de vague pour différents niveaux d'eau. Secteur de Saint-Félicien. Scénario M.



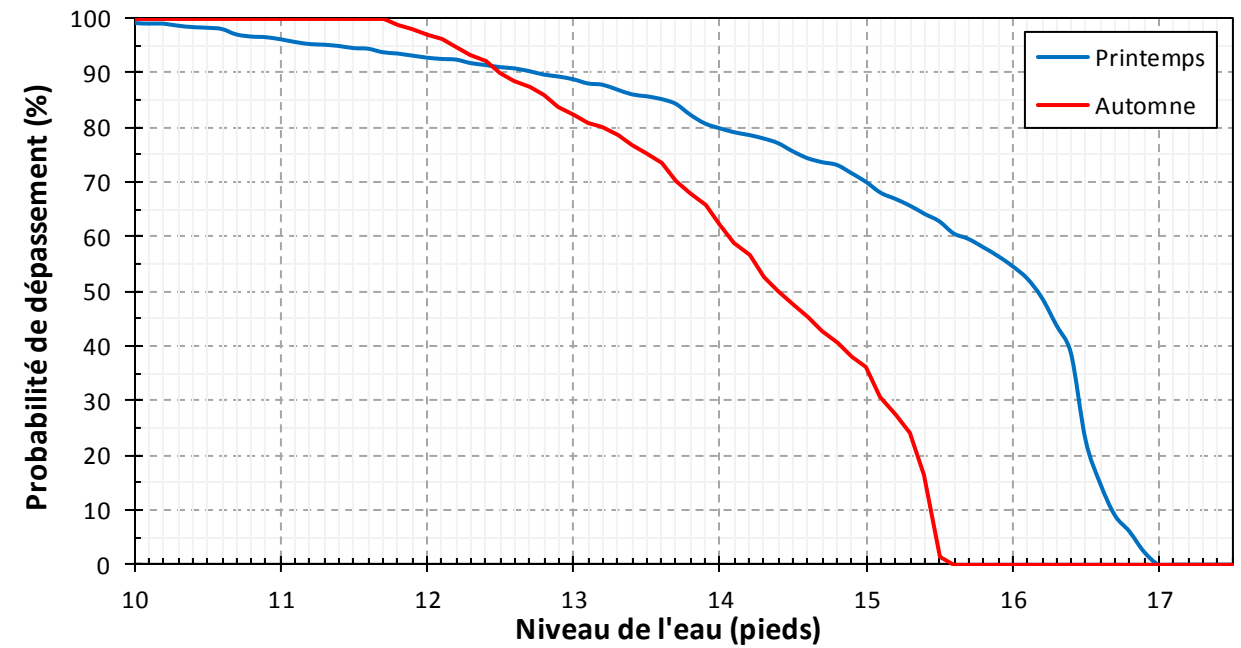
a) Probabilité de dépassement de la hauteur de vagues



c) Probabilité de dépassement de la hauteur de vagues

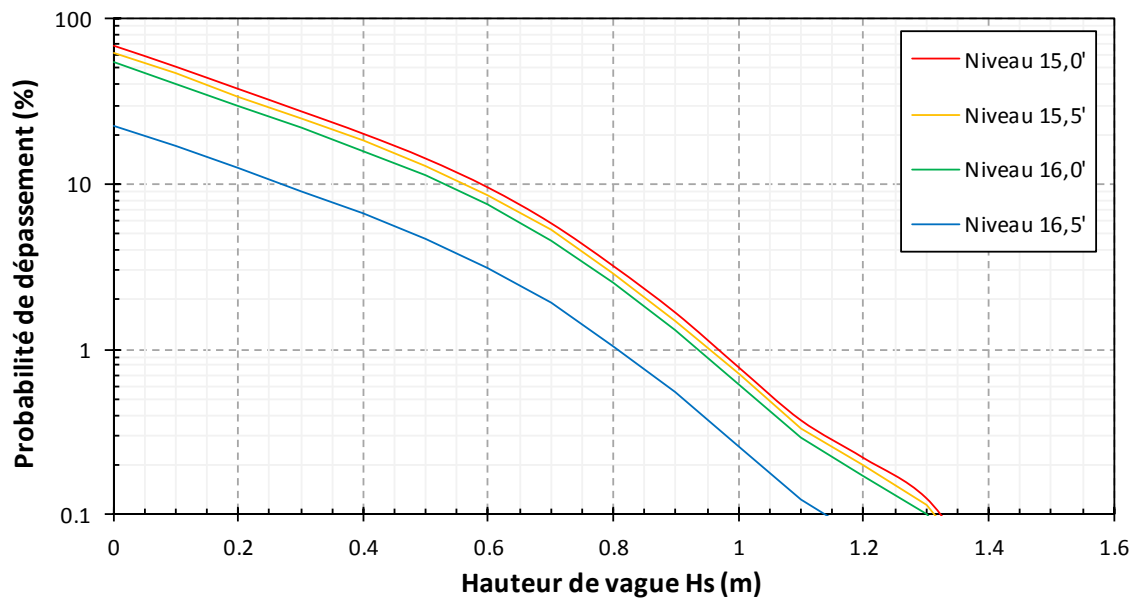


b) Probabilité de dépassement du niveau d'eau

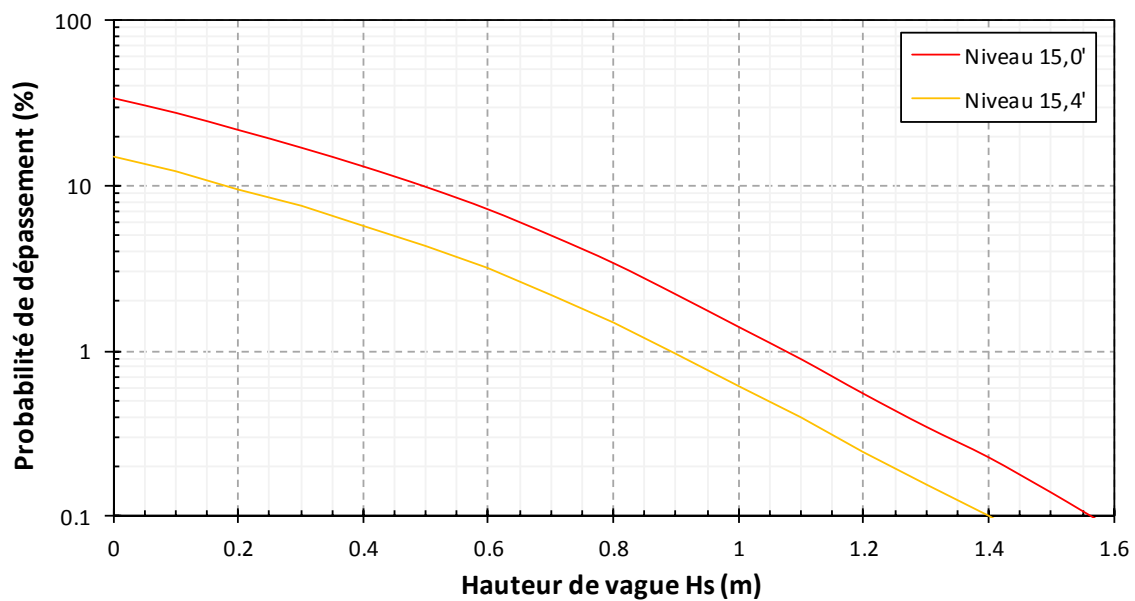


d) Probabilité de dépassement du niveau d'eau

Figure 13: Comparaison de l'intensité et de la récurrence des tempêtes printanières avec les tempêtes d'automne. Secteur de Dolbeau-Mistassini. Niveau d'eau du Scénario M.

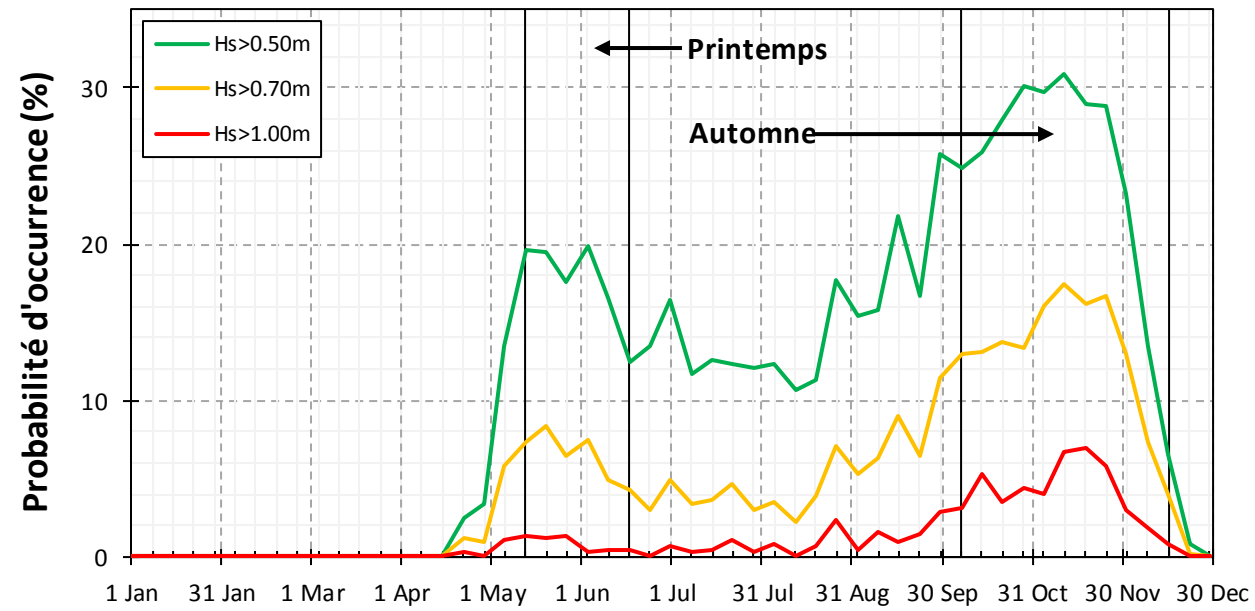


a) Probabilité combinée de la hauteur des vagues et du niveau de l'eau au printemps

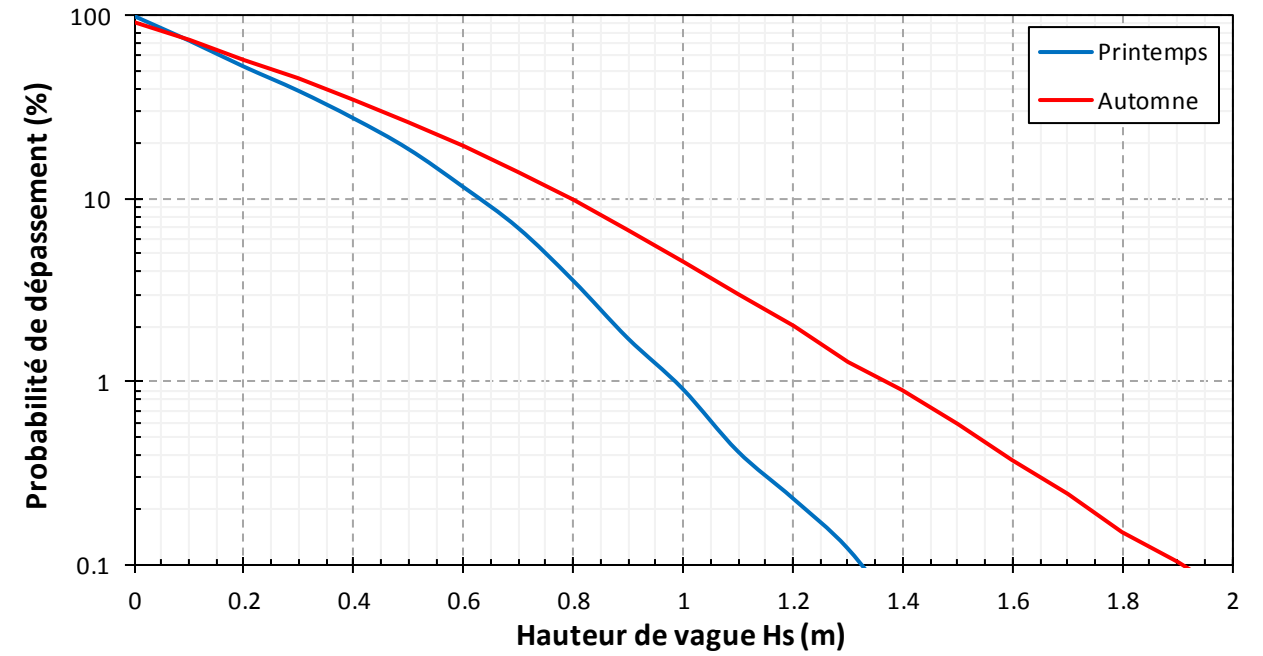


b) Probabilité combinée de la hauteur des vagues et du niveau de l'eau en automne

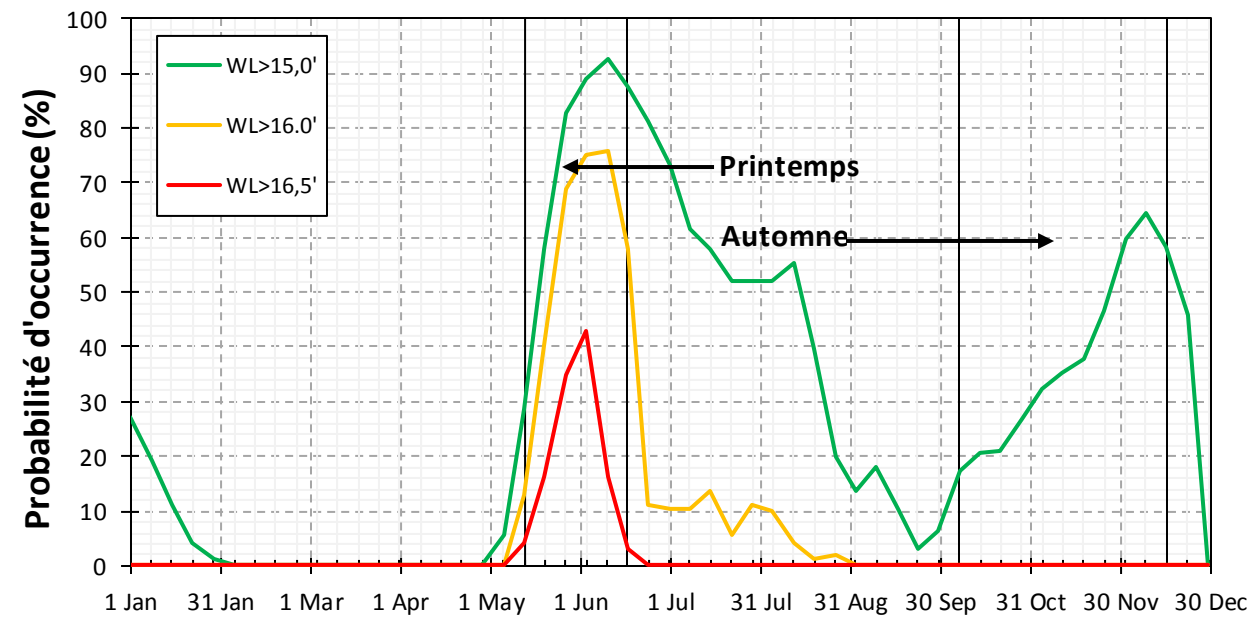
Figure 14: Probabilité de dépassement d'une hauteur de vague pour différents niveaux d'eau. Secteur de Dolbeau-Mistassini. Scénario M.



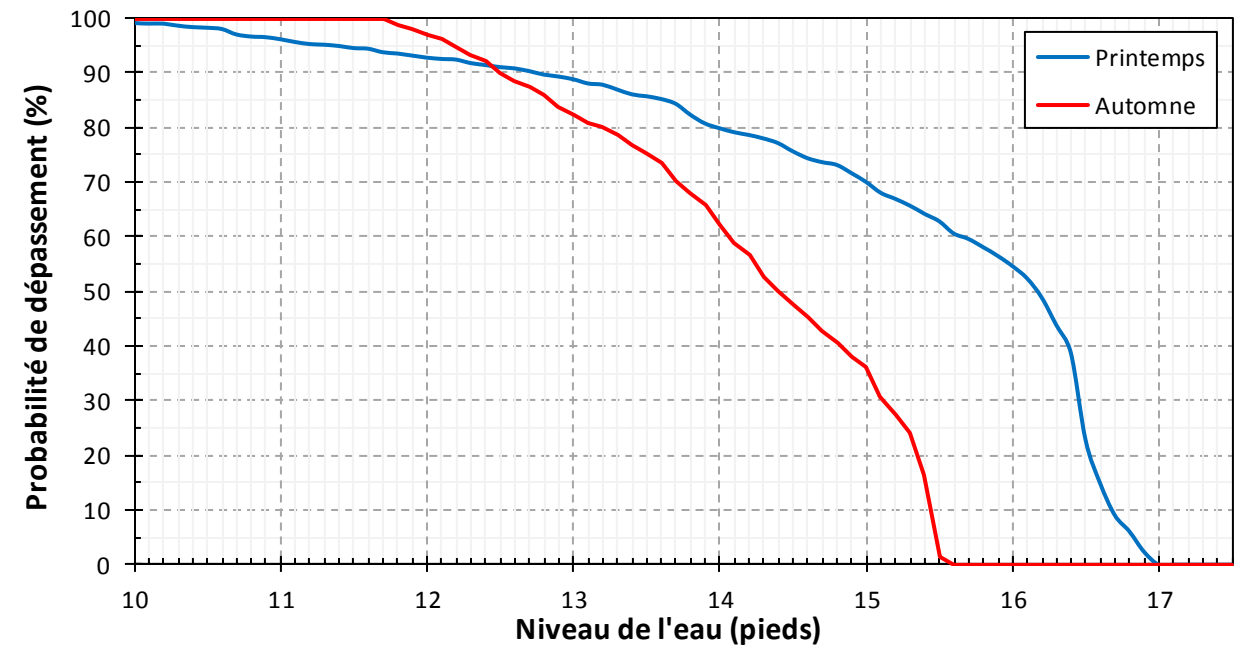
a) Probabilité de dépassement de la hauteur de vagues



c) Probabilité de dépassement de la hauteur de vagues

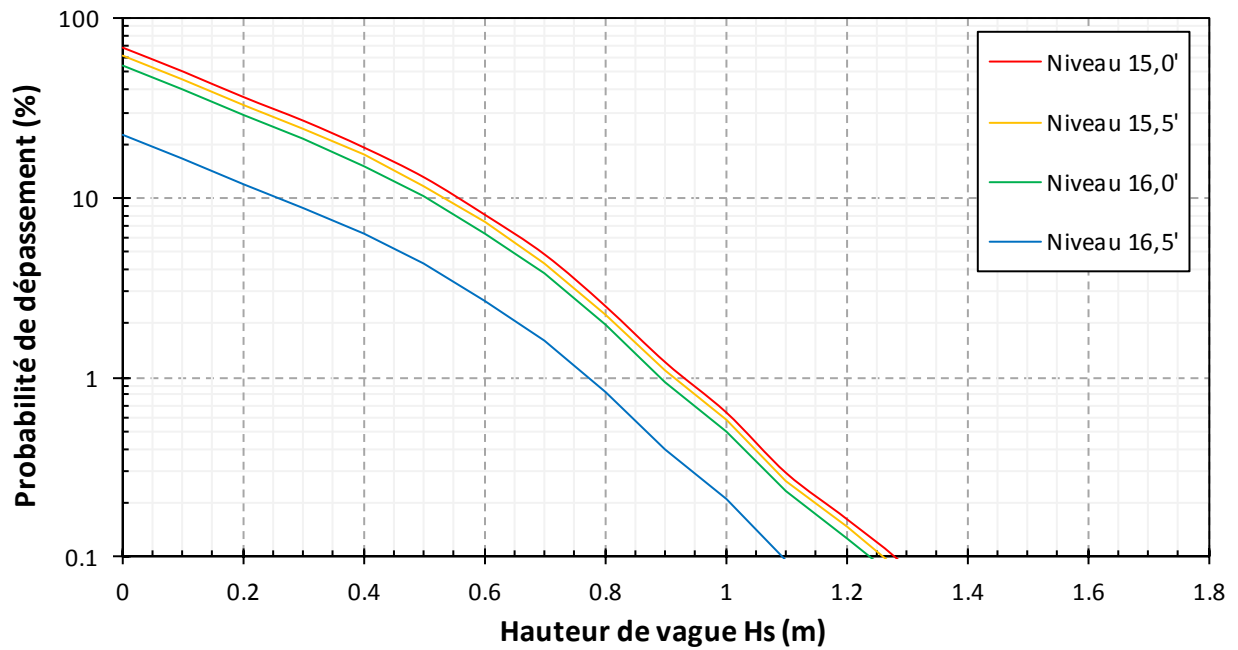


b) Probabilité de dépassement du niveau d'eau

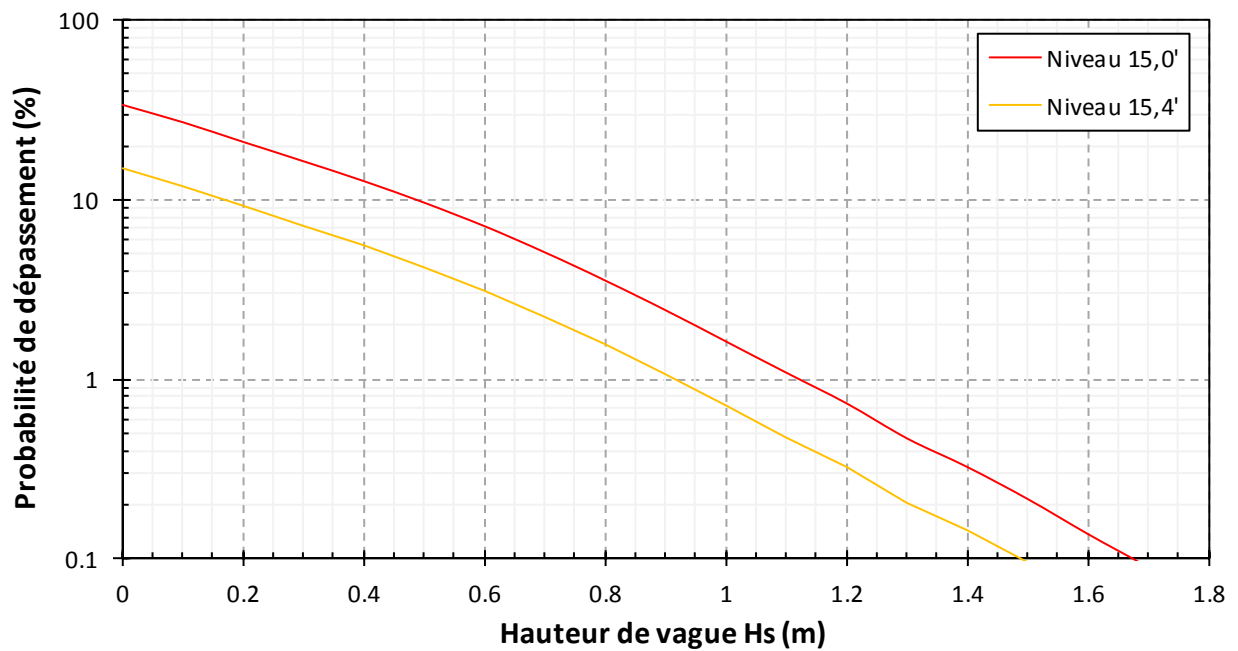


d) Probabilité de dépassement du niveau d'eau

Figure 15 : Comparaison de l'intensité et de la récurrence des tempêtes printanières avec les tempêtes d'automne. Secteur de Saint-Henri-de-Taillon Nord. Niveau d'eau du Scénario M.



a) Probabilité combinée de la hauteur des vagues et du niveau de l'eau au printemps



b) Probabilité combinée de la hauteur des vagues et du niveau de l'eau en automne

Figure 16: Probabilité de dépassement d'une hauteur de vague pour différents niveaux d'eau. Secteur de Saint-Henri-de-Taillon Nord. Scénario M.